INI
empresa nacional adaro
de investigaciones mineras, s.a.

MAPA GEOLOGICO DE ESPAÑA

Escala 1:50.000

PROYECTO MAGNA

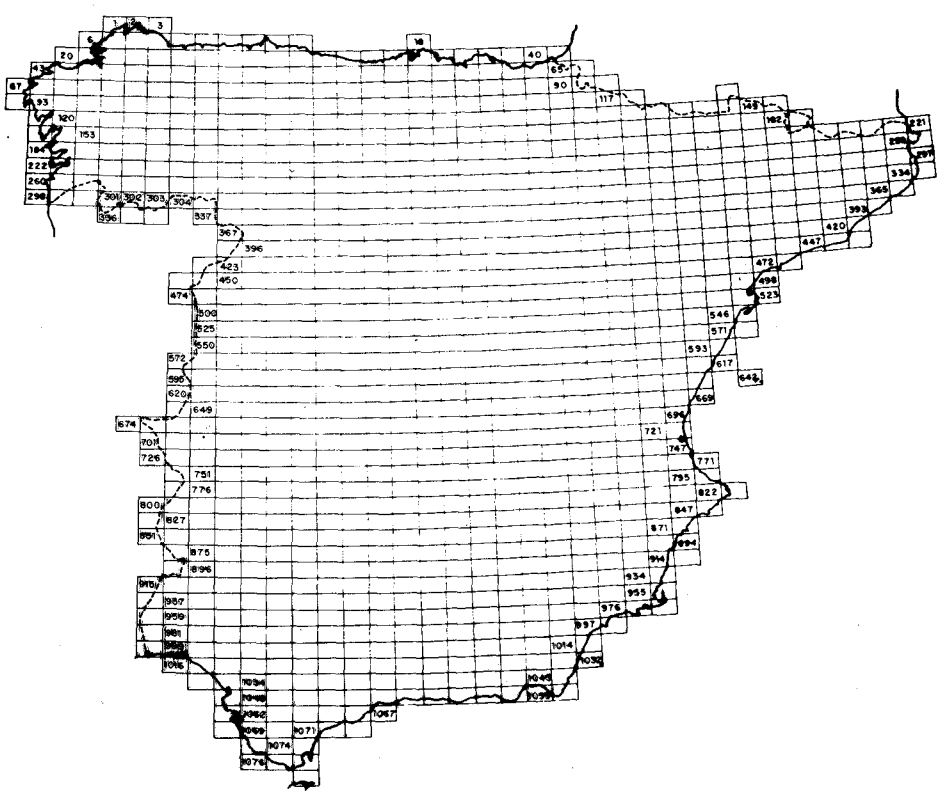

CANGAS DE NARCEA

50
10-05

DOCUMENTACION COMPLEMENTARIA

Año 1.977

20050

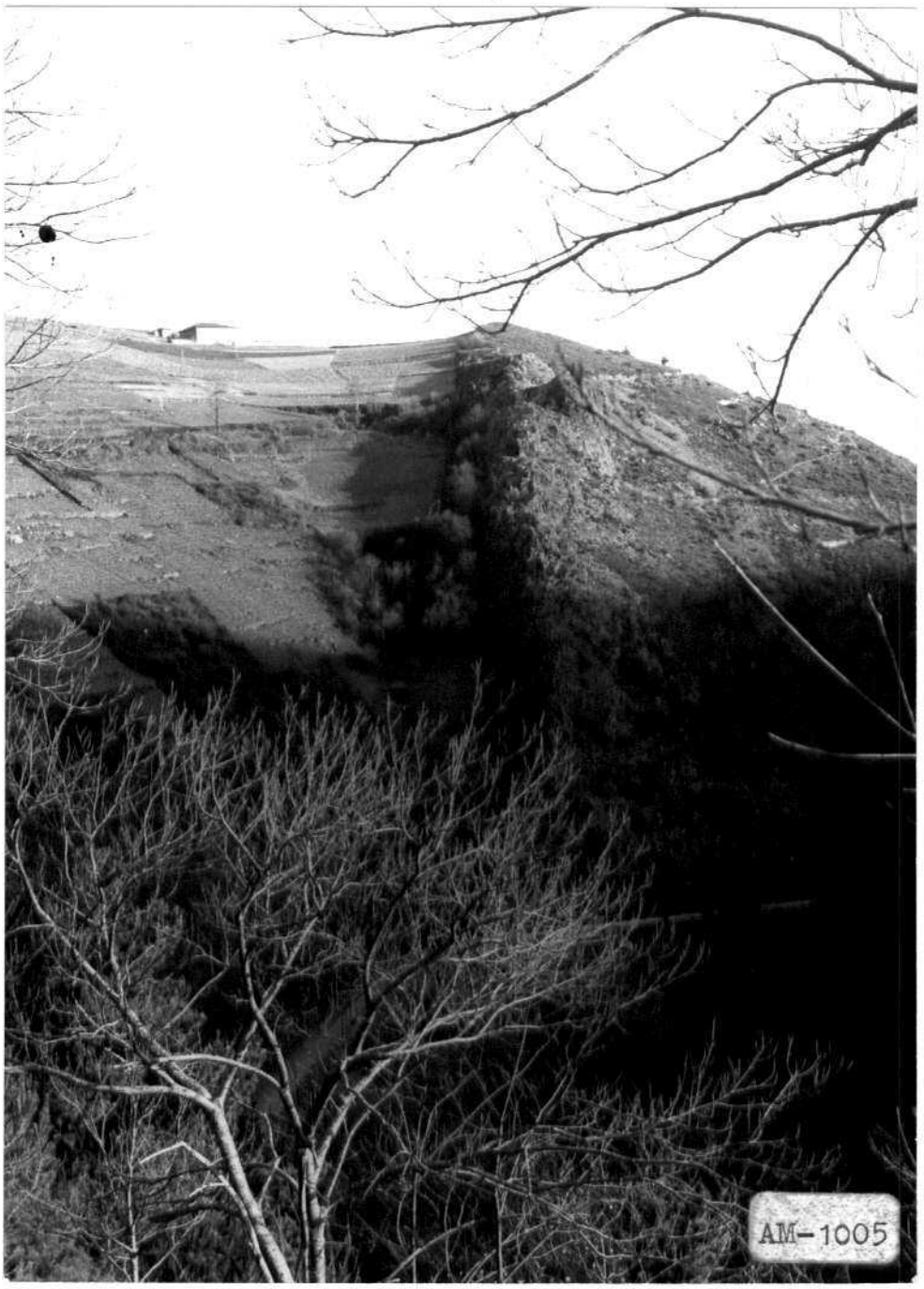

10-05-AD-AM-1005.- Falla vertical limitando materiales precámbricos (PC_2) (izq.) y estefanienses (H^B_{33}-H^B_{34}). Alrededores de Puelo.

20050

10-05-AD-AM-1006.- Afloramiento del granito de Linares (ɣ) en el Penedo de Linares, visto desde la carretera de Cangas - de Narcea a Grandas de Salime.

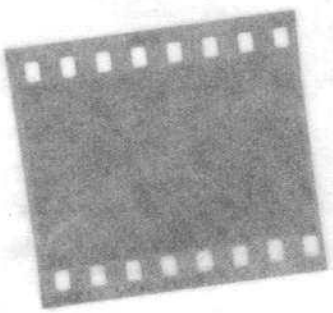

1005
AM-1006

20050

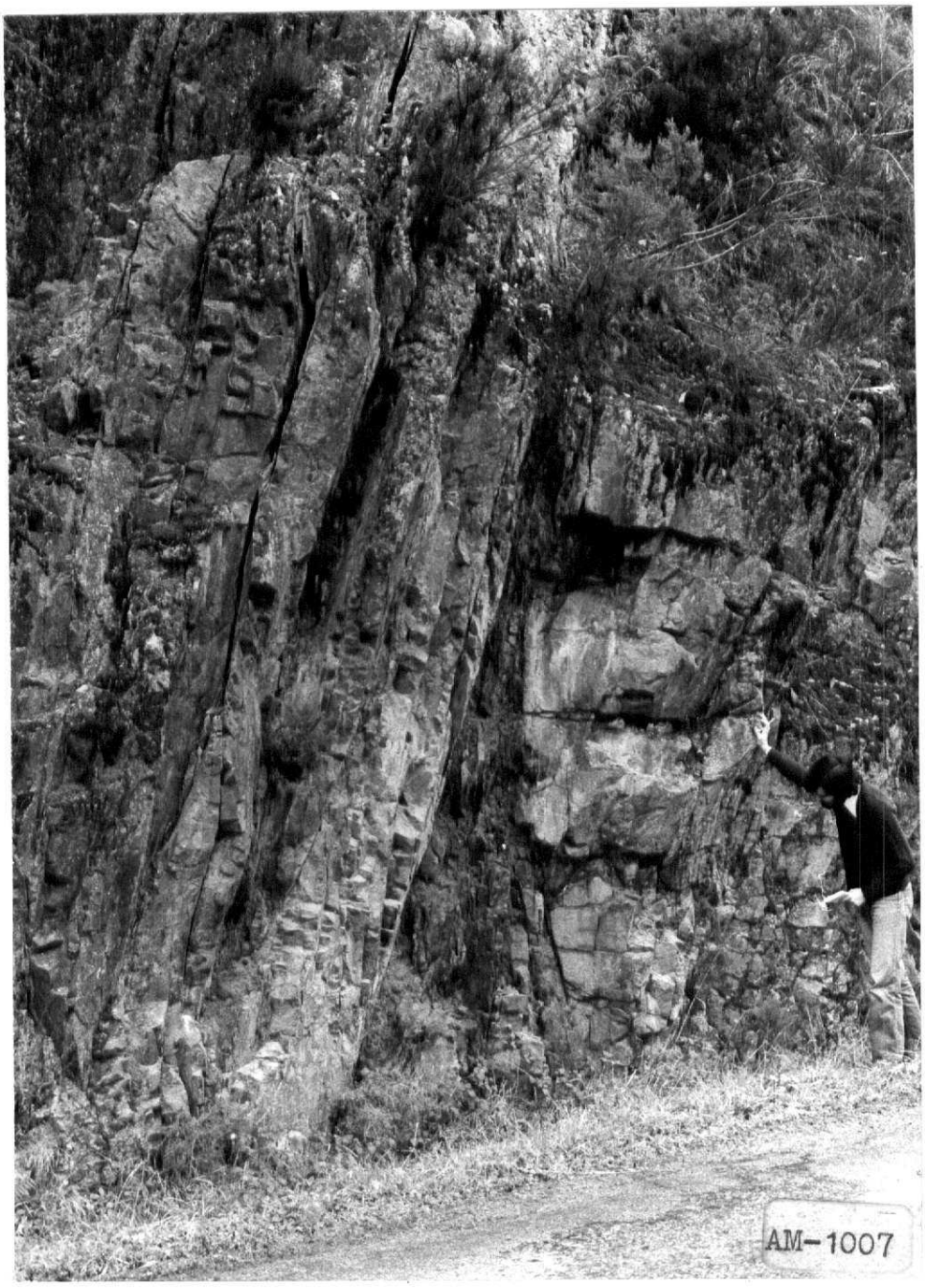

10-05-AD-AM-1007.- Fractura vertical afectando a materiales precámbricos (PC_2). Carretera de Cangas de Narcea a Grandas de Salime.

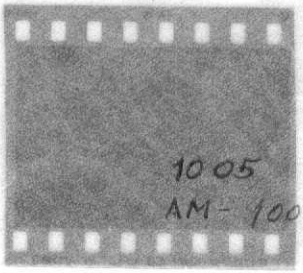

20050

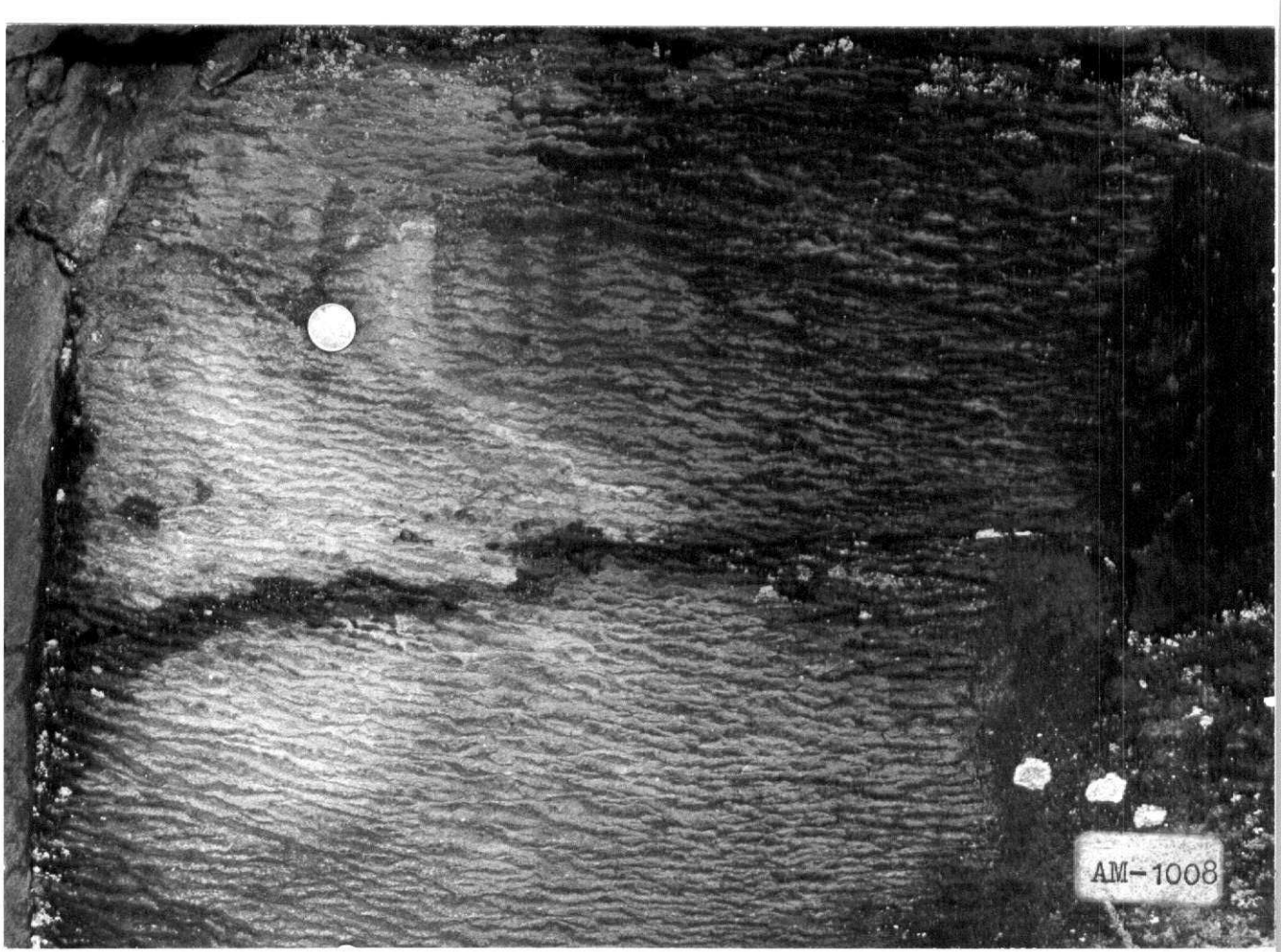

10-05-AD-AM-1008.- Ornamentación en la superfície de una diaclasa en rocas precámbricas (PC_2). Carretera de Cangas de Narcea a Grandas de Salime.

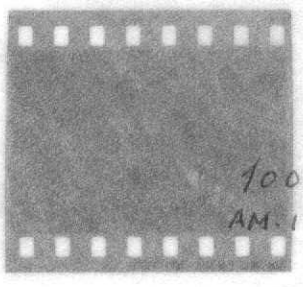

20050

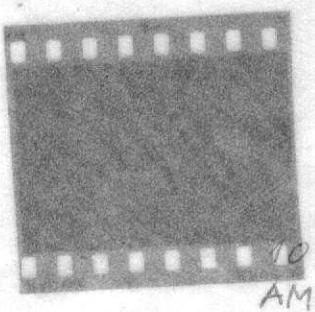

1005
AM-1009

10-05-AD-AM-1009.- Laminación paralela en areniscas del Precámbrico (PC_2) cerca del km. 5, carretera de Cangas de Narcea a - Grandas de Salime.

20050

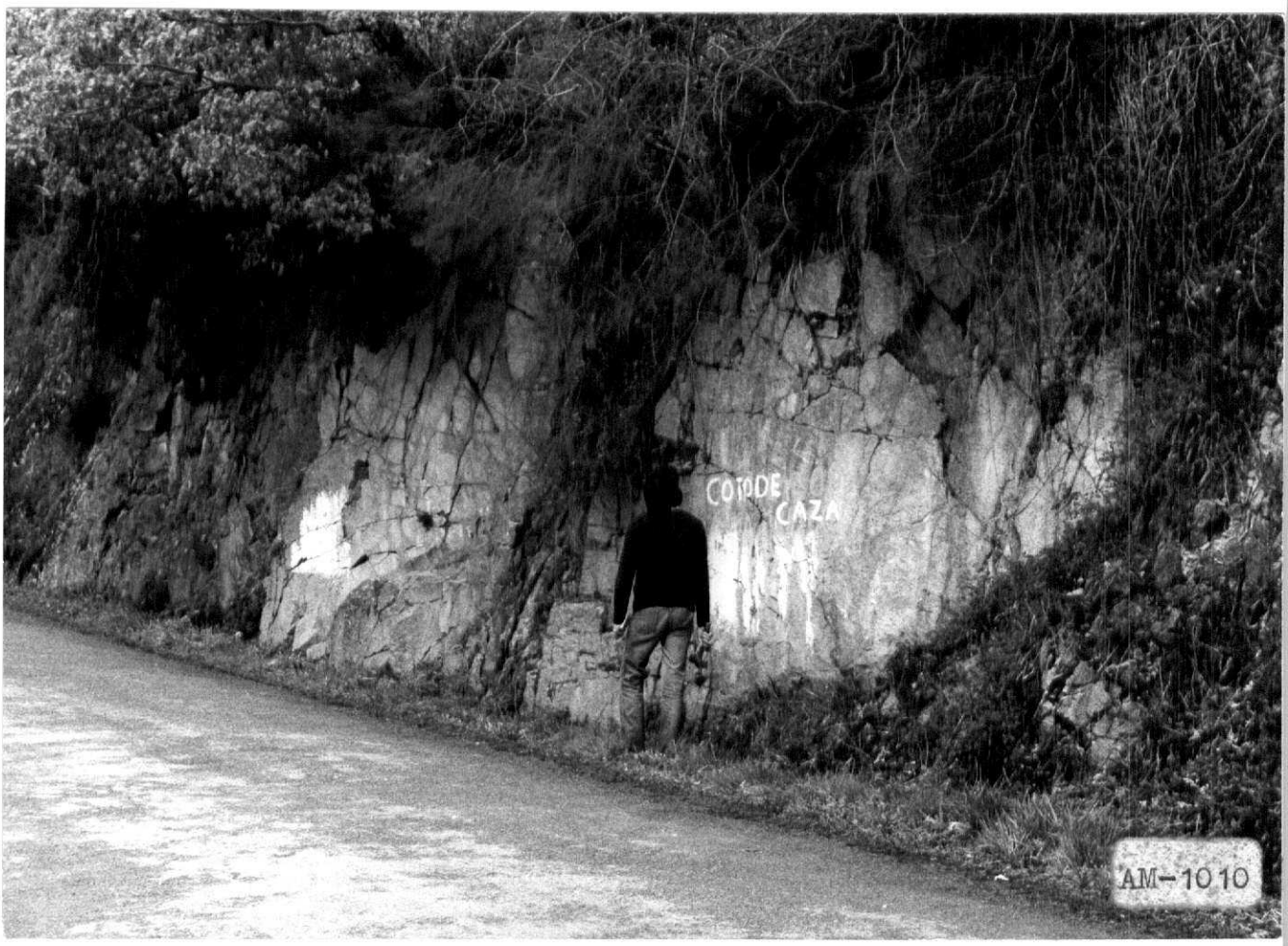

10-05-AD-AM-1010.- Diques de pórfido (FO) intruidos en las Areniscas de la Herrería. Carretera de Cangas de Narcea a Grandas de Salime, km. 5,5.

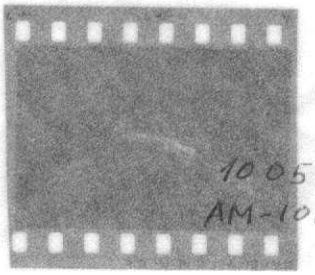

20050

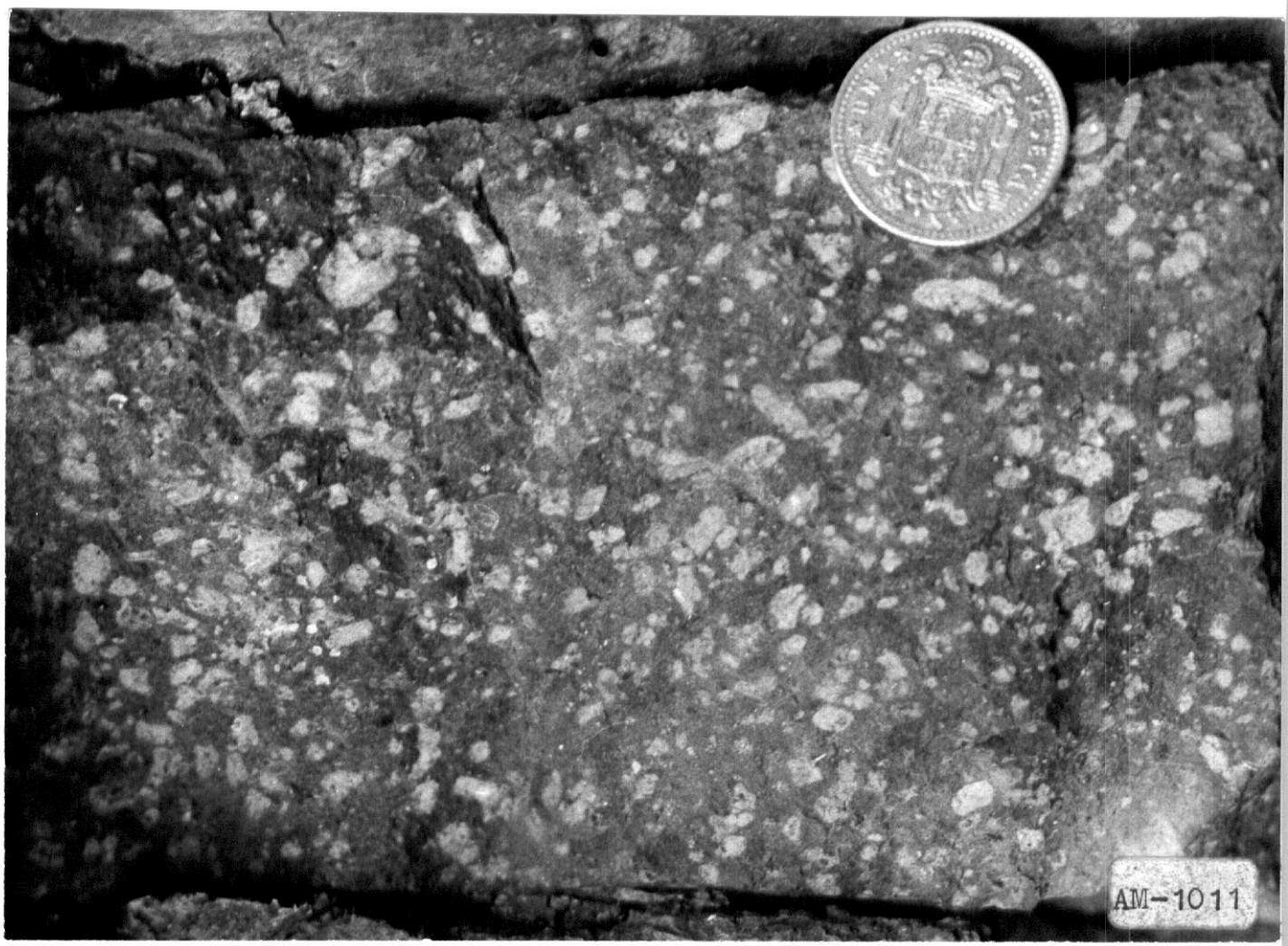

10-05-AD-AM-1011.- Detalle de los pórfidos (FO) anteriores. Misma localidad.

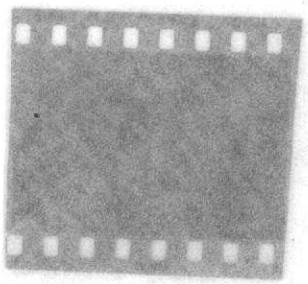

10 05
AM-1011

20050

10-05-AD-AM-1012.- Dolomías basales de las Areniscas de la Herrería (CA_1D), carretera de Cangas de Narcea a Grandas de Salime, cerca del km. 6.

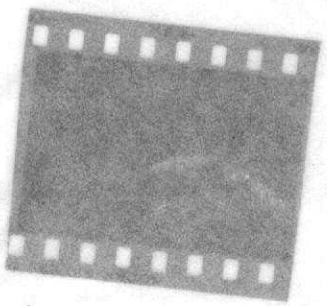

10 05
AM-1012

20050

10-05-AD-AM-1013.- Detalle de las mismas.

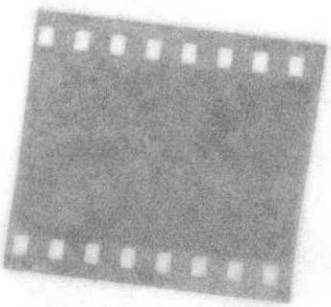

10 05
AM-1013

20050

10-05-AD-AM-1014.- Aspecto de la parte baja de las Areniscas - de la Herrería (CA_1). Carretera de Cangas de Narcea a Grandas de Salime.

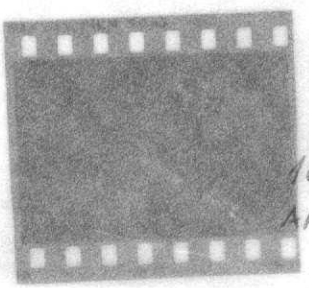

20050

10-05-AD-AM-1024.- Aspecto general del granito de Linares (ɣ). Destacan los grandes cristales de feldespatos y arriba, inclu - siones básicas. Linares.

20050

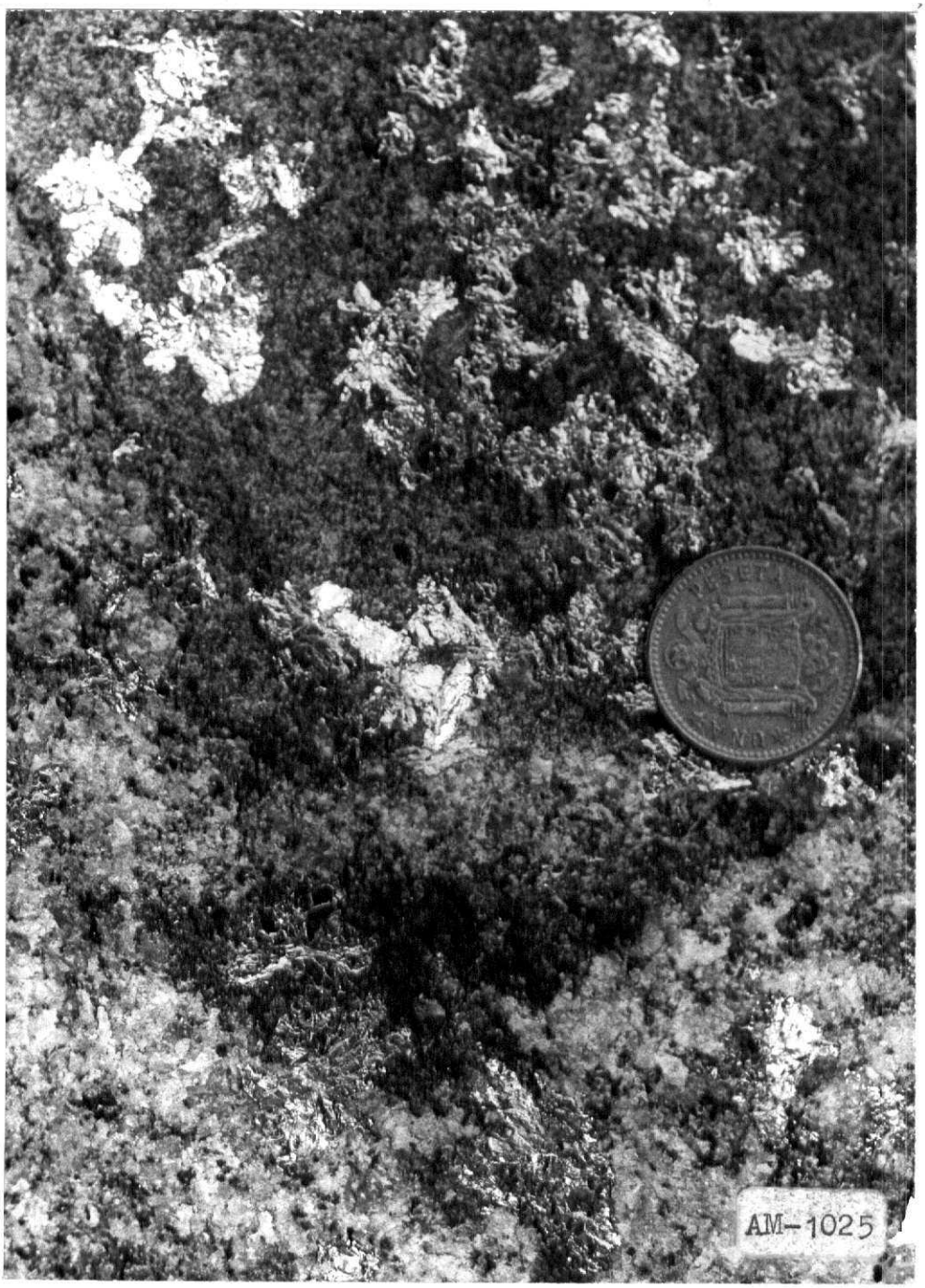

10-05-AD-AM-1025.- Detalle de las mineralizaciones de galena en la superfície de una diaclasa afectando al granito de Linares.

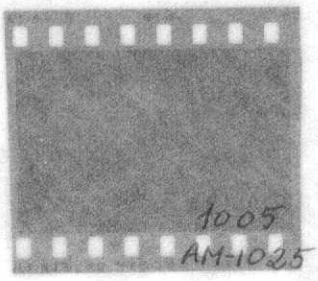

20050

10-05-AD-AM-1026.- Detalle de las mineralizaciones de galena en la superfície de una diaclasa afectando al granito de Linares.

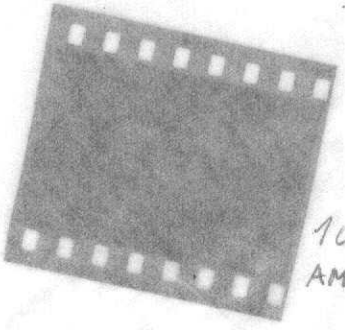

20050

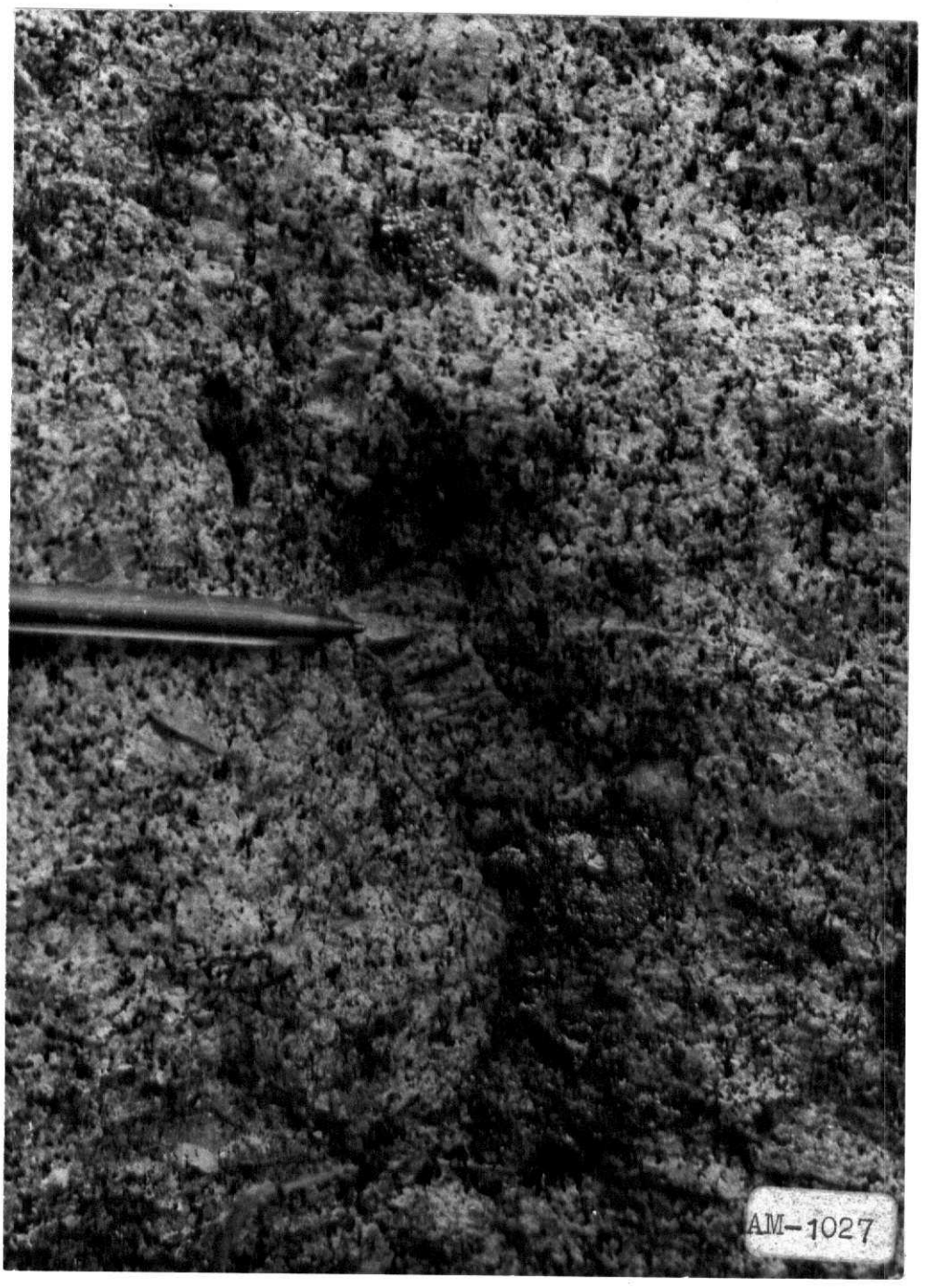

10-05-AD-AM-1027.- Vena pegmatoide con mineralización de galena en el granito de Linares (γ). Linares.

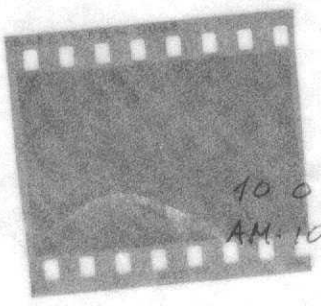

20050

10-05-AD-AM-1029.- Micropliegue de eje subvertical en pizarras precámbricas (PC_2), cerca de Santa Eulalia.

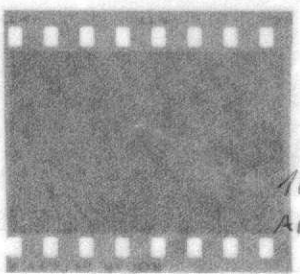

20050

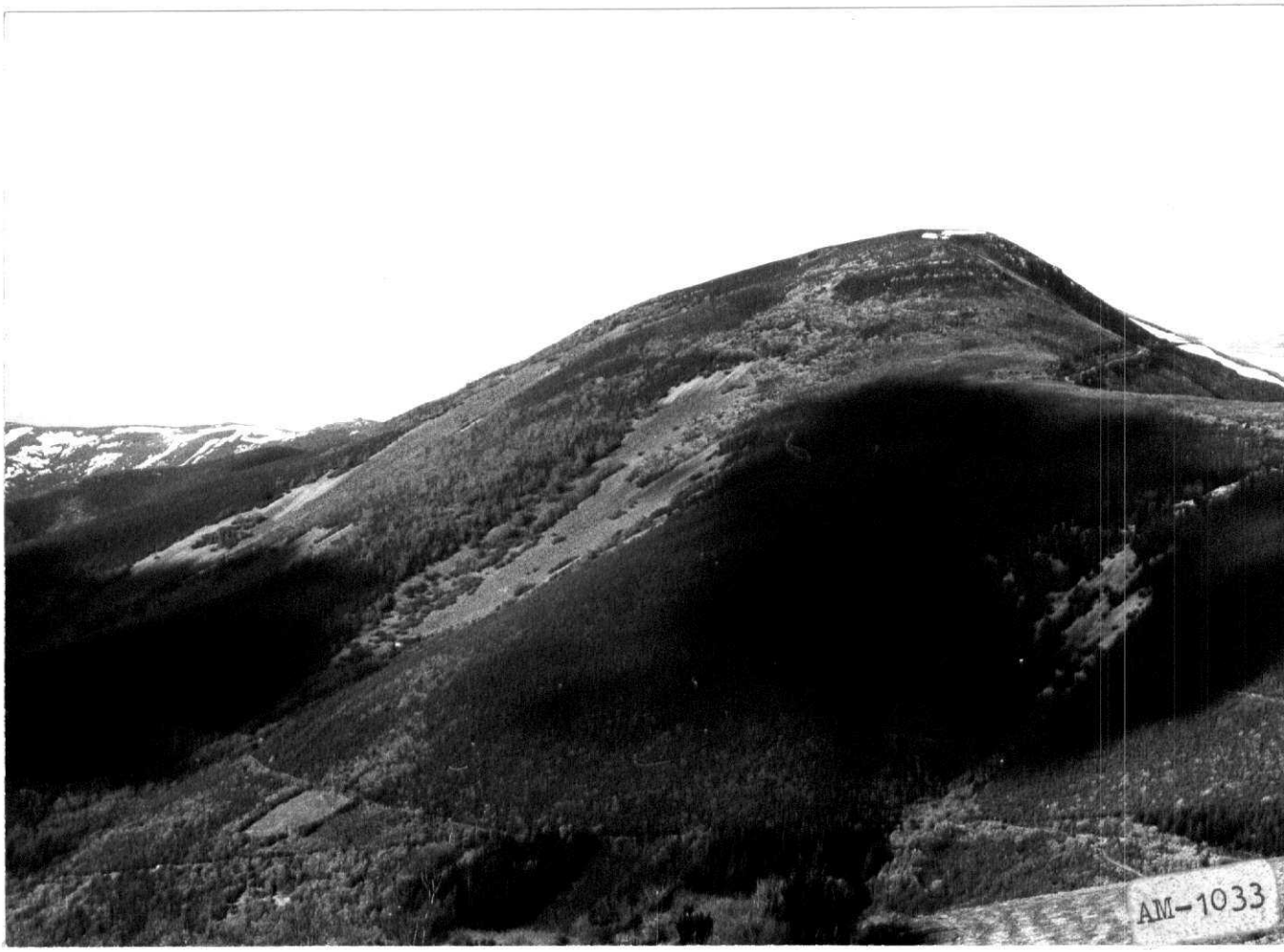

10-05-AD-AM-1033.- Derrubios de ladera (QL) en la Serie de los Cabos (CA_2-O_{1p}). Sierra de Ibollo.

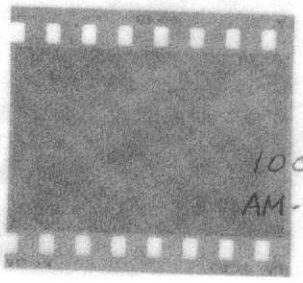

20050

10-05-AD-AM-1037.- Aspecto general de la Formación Vegadeo (CA_{1-2}) cerca de Comba, al NW de Besullo.

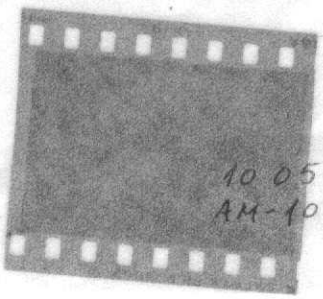

20050

10-05-AD-AM-1046.- Calizas intercaladas en los niveles de tránsito de las Areniscas de la Herrería (CA_1) a la Formación Vegadeo (CA_{1-2}). Carretera de Besullo a Comba.

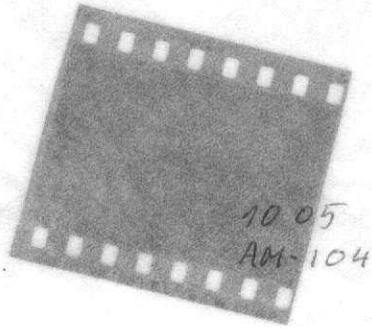

20050

10-05-AD-AM-1047.- Grandes bancos de Areniscas con estratificación cruzada en la Formación Herrería (CA_1). Carretera de Besullo a Comba.

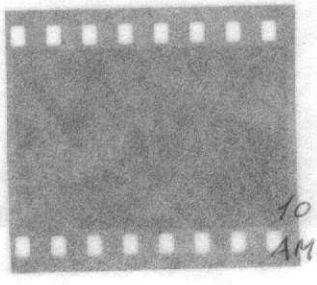

20050

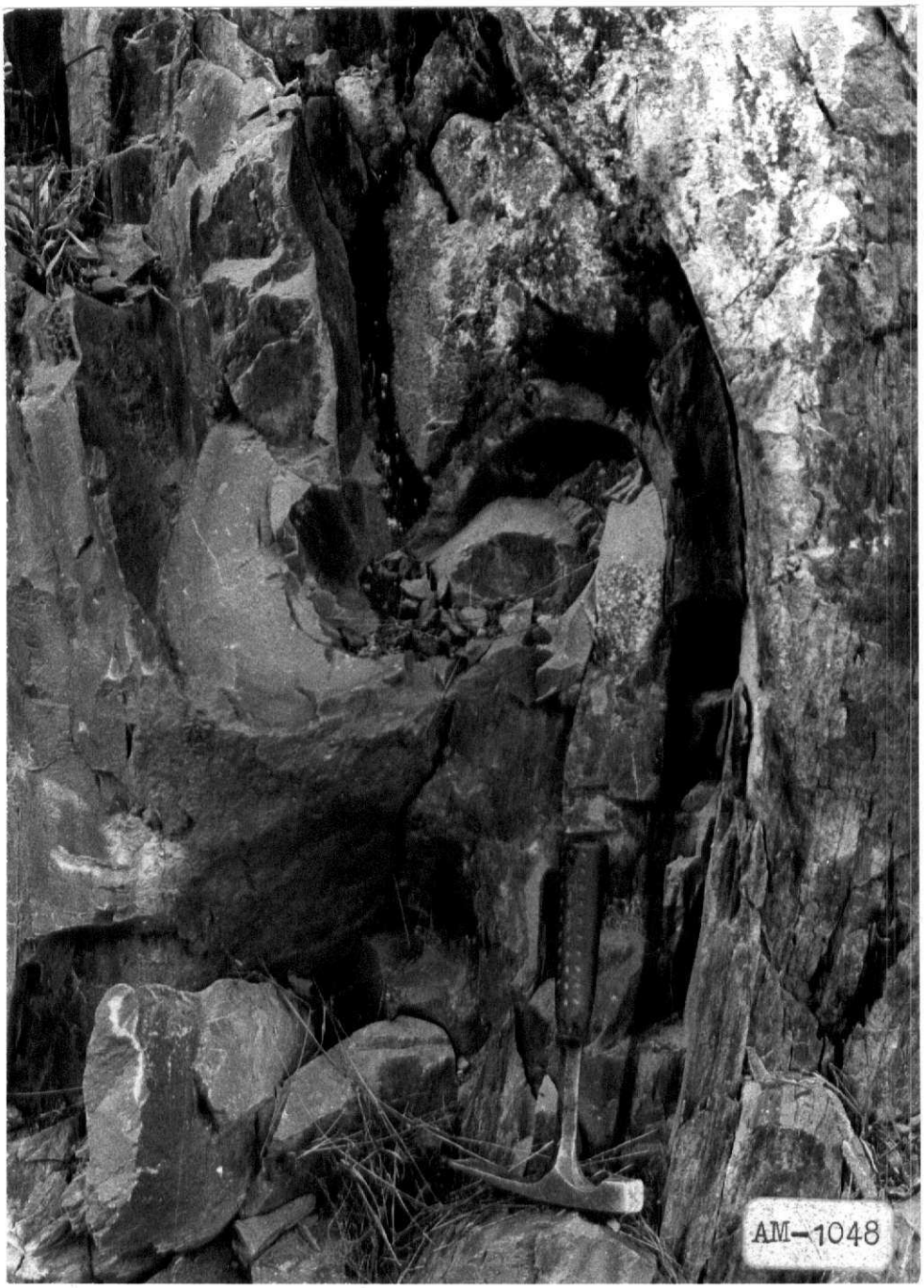

10-05-AD-AM-1048.- Pliegue de eje subvertical en materiales precámbricos (PC_2), cerca de Otriello.

20050

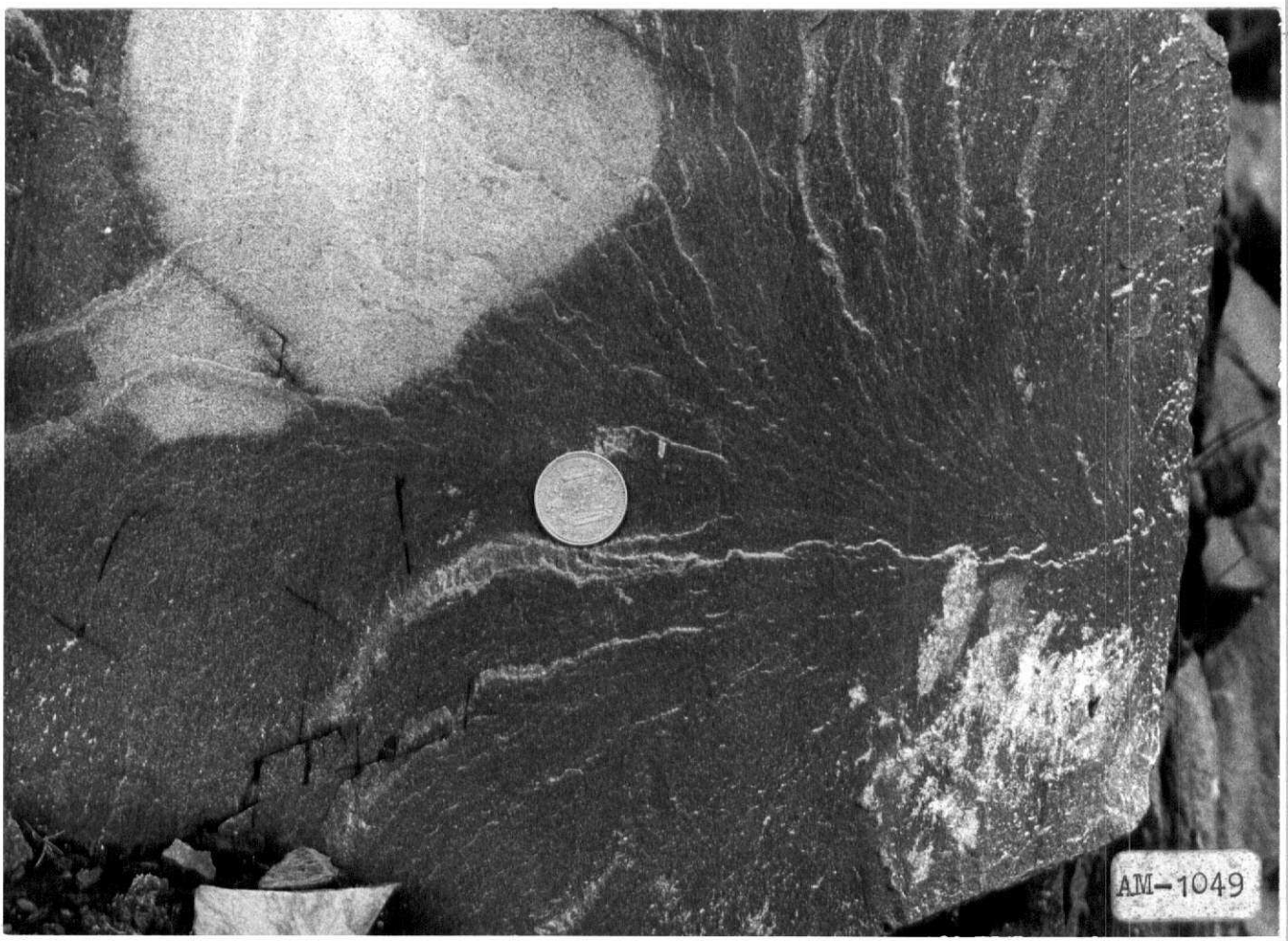

10-05-AD-AM-1049.- Ornamentación en la superfície de una diaclasa afectando a areniscas precámbricas (PC_2). Otriello.

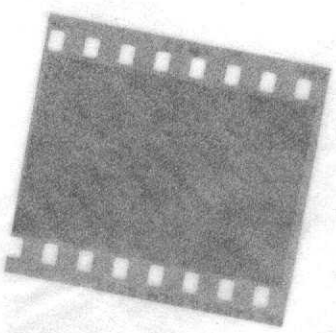

1005
AM-1049

20050

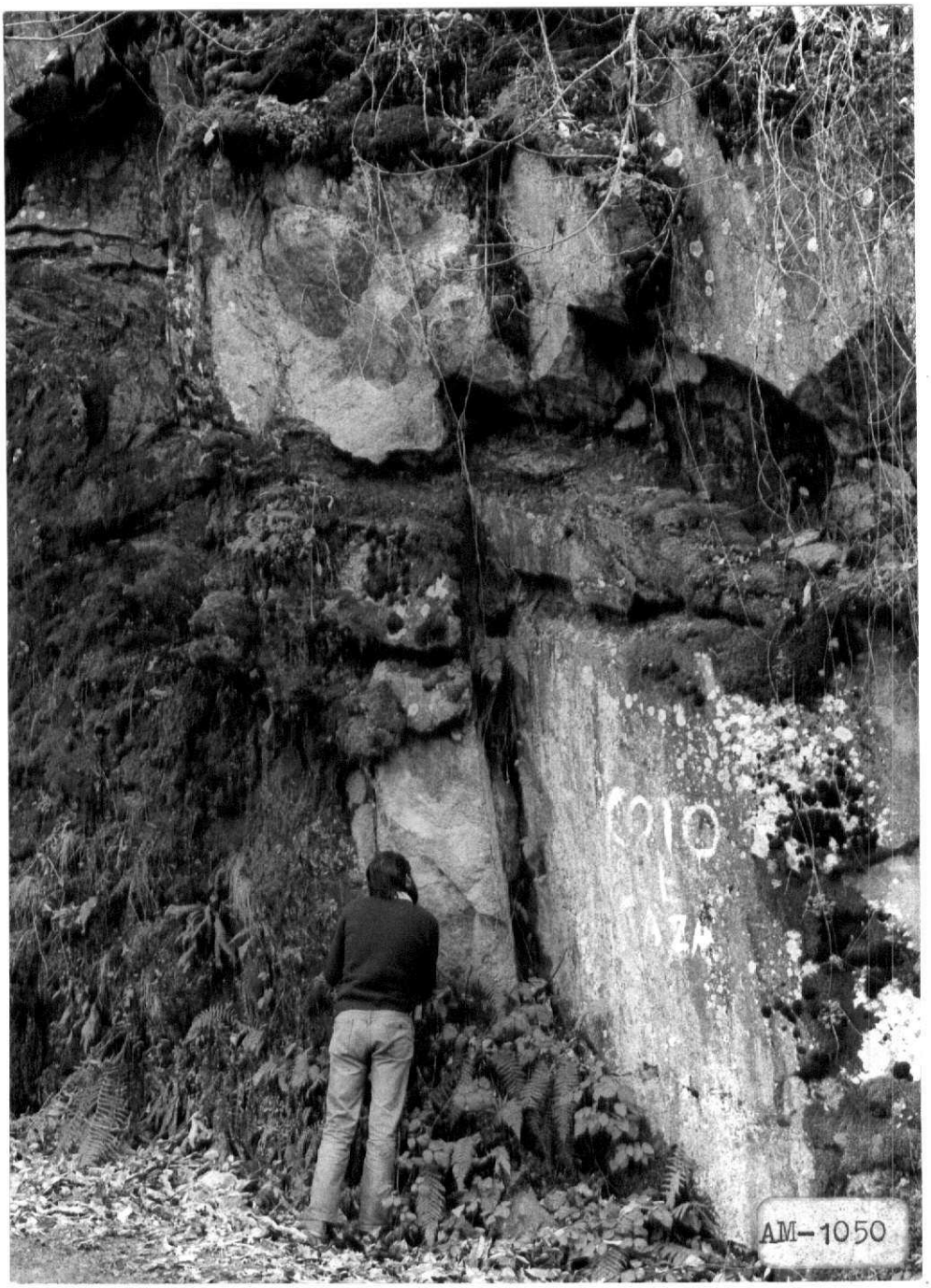

10-05-AD-AM-1050.- Aspecto general de los porfiroides precámbricos (ρ_E^1). Carretera de Cangas de Narcea a Besullo.

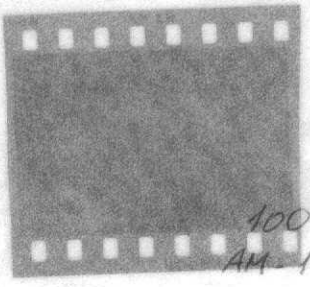

20050

10-05-AD-AM-1051.- Detalle de los porfiroides precámbricos (ρ_E^1). Misma localidad.

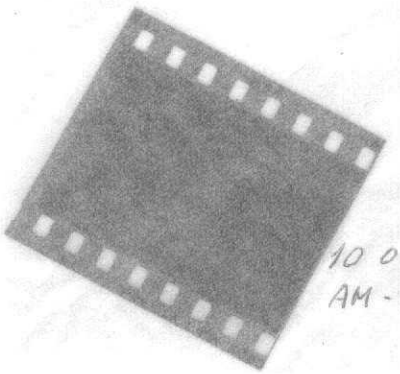

20050

10-05-AD-AM-1053.- Flexiones y kink bands tardíos, desarrollados en pizarras precámbricas (PC_2). Carretera de Cangas de Narcea a Besullo.

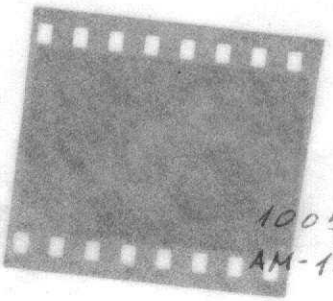

20050

10-05-AD-AM-1055.- Superfície de arrasamiento del Terciario (T) o cuaternario antiguo sobre el pueblo de Taralla.

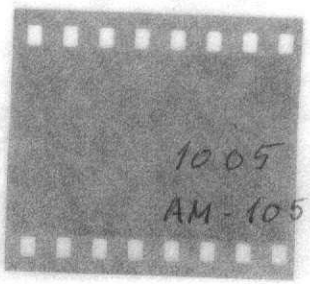

20050

10-05-AD-AM-1086.- Contacto discordante entre el Estefaniense (H^{B}_{33}-H^{B}_{34}) y el Precámbrico (PC_2) en el Valle del Narcea. Encima de la superfície de discordancia puede observarse el conglomerado de base estefaniense en posición subhorizontal.

20050

10-05
AM-1087

10-05-AD-AM-1087.- Aspecto típico que presenta el Precámbrico (PC_2) en el Valle de Narcea. Se trata de un conjunto alternante de areniscas y filitas fuertemente afectado por la esquistosidad de flujo correspondiente a la primera fase de la deformación herciniana.

20050

10-05-AD-AM-1088.- Vista de los conglomerados de base estefanien se (H^{B}_{33}-H^{B}_{34}) que reposan discordantemente sobre los materiales - precámbricos (PC_2). Valle del Narcea, al SE de la Hoja.

20050

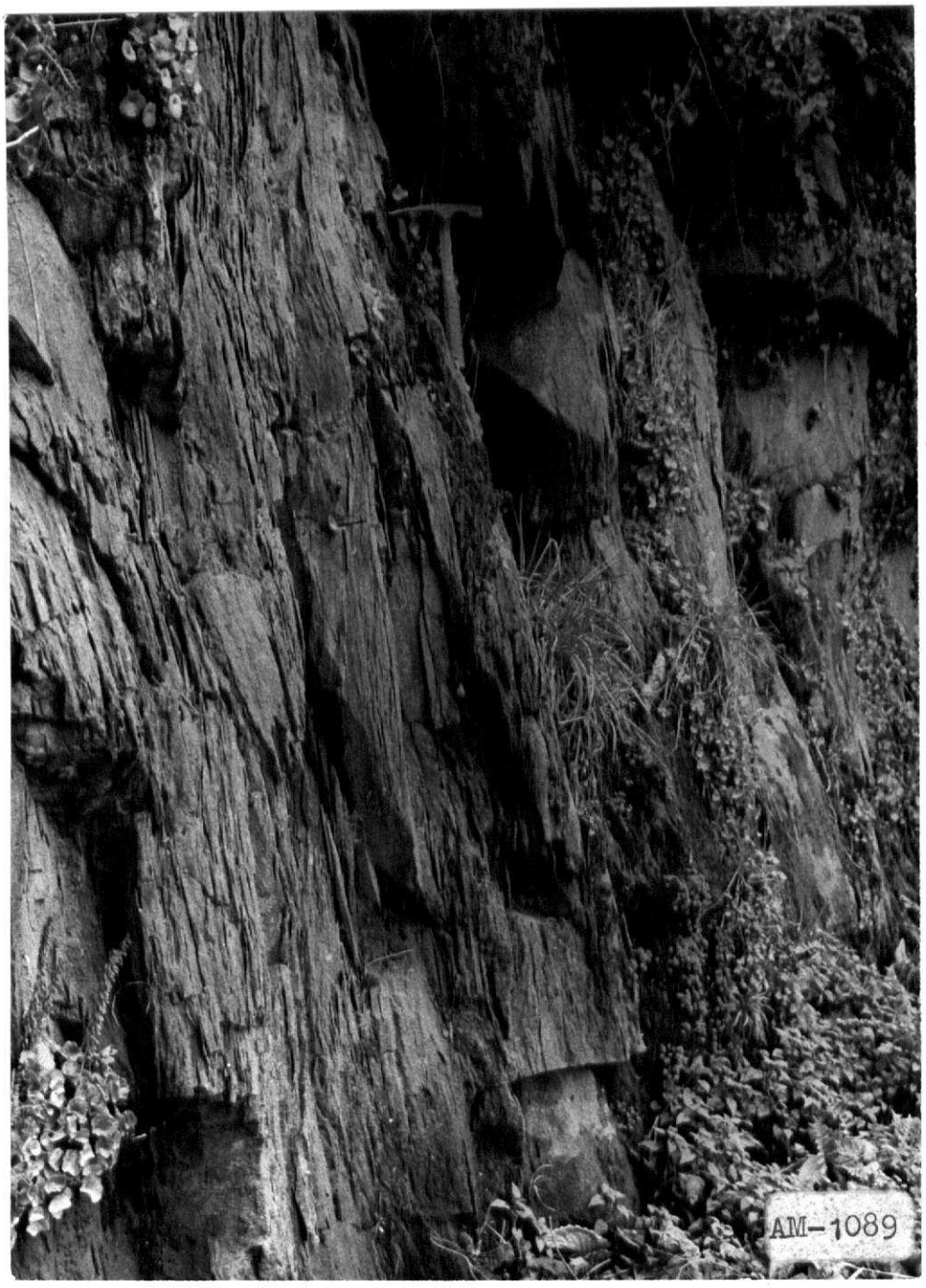

10-05-AD-AM-1089.- Aspecto que presentan en el campo los materiales Precámbricos (PC_2) constituidos por filitas y areniscas alternantes. Valle del Narcea, al SE de la hoja.

20050

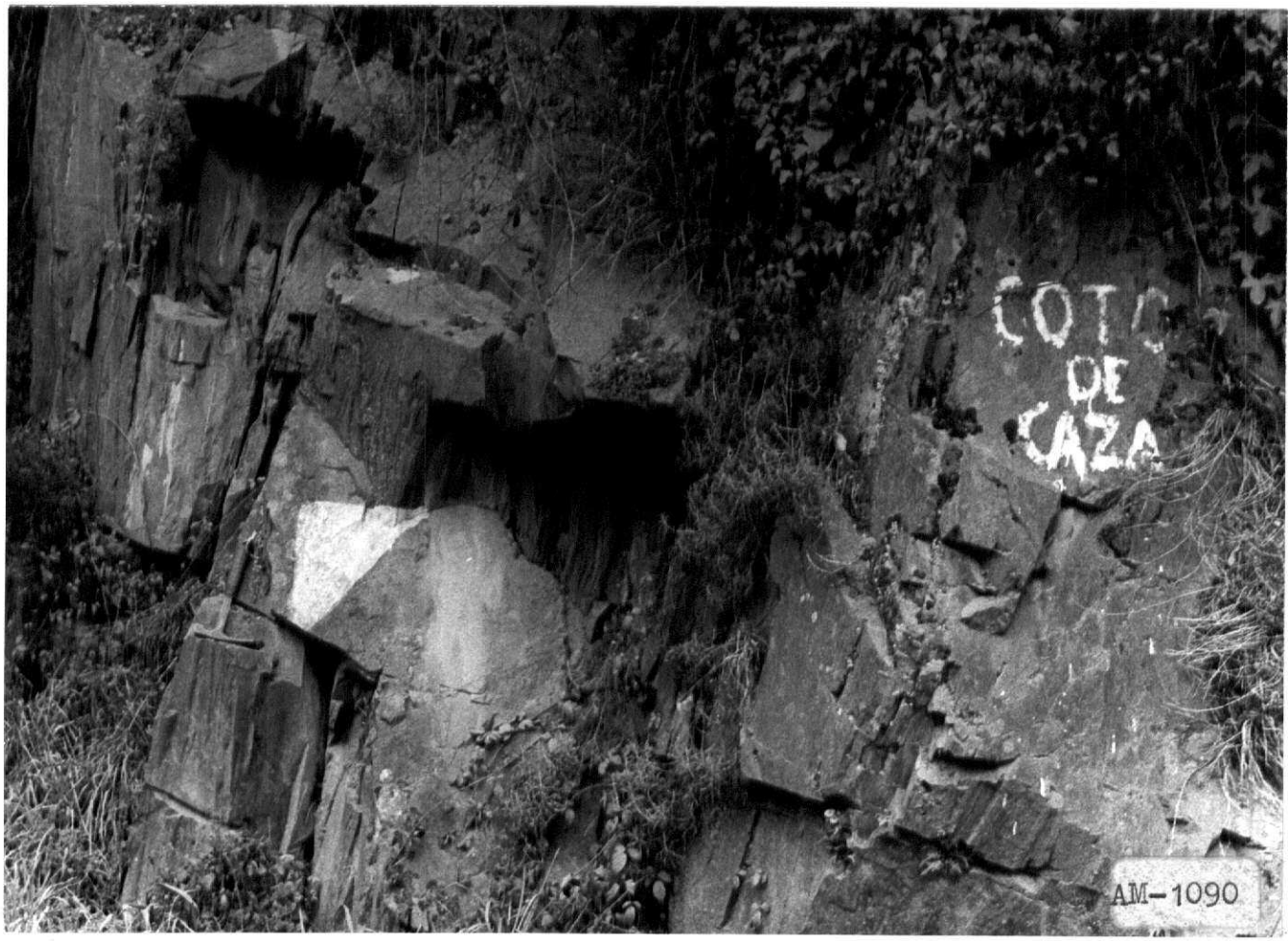

10-05-AD-AM-1090.- Aspecto que presentan en el campo los materiales Precámbricos (PC_2) constituidos por filitas y areniscas alternantes. Valle del Narcea, al SE de la hoja.

20050

10-05
AM-1091

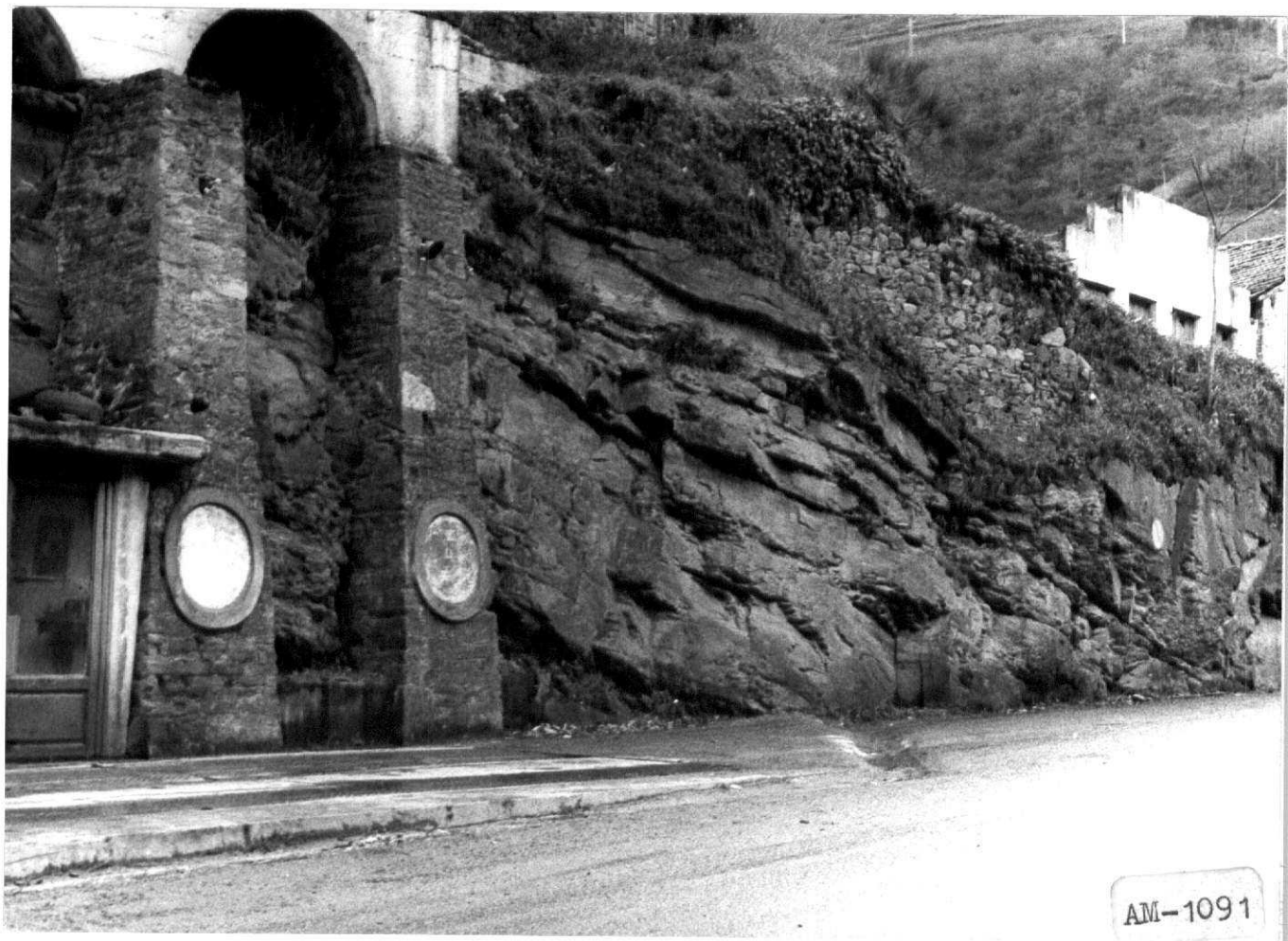

10-05-AD-AM-1091.- Aspecto que presentan los materiales estefanienses (H^{B}_{33}-H^{B}_{34}) en Cangas de Narcea. Se trata de una secuencia predominantemente arenosa con algunas pizarras intercaladas.

20050

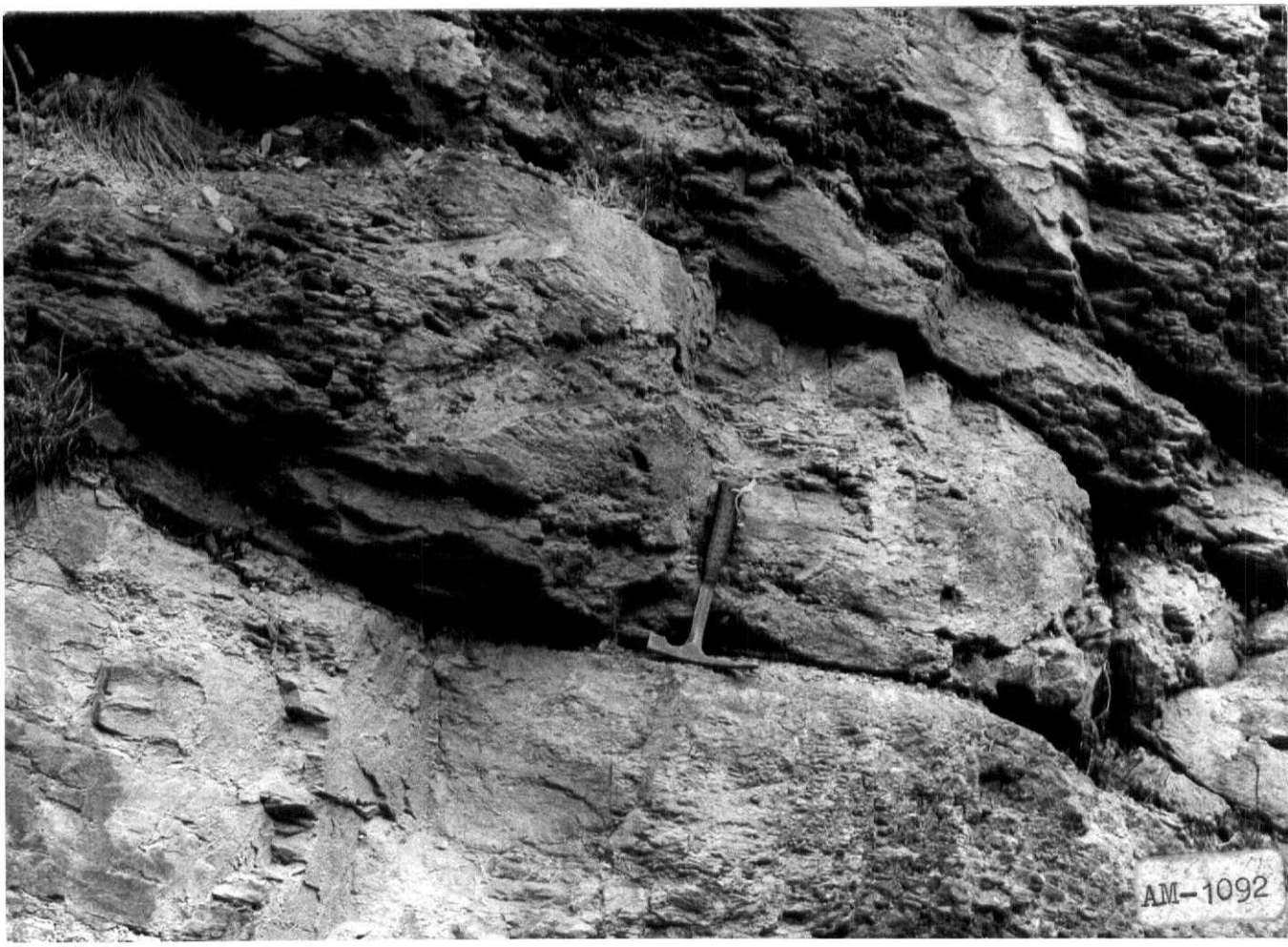

10-05-AD-AM-1092.- Detalle correspondiente al motivo de la foto anterior.

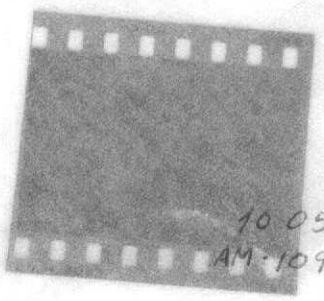

20050

10-05-AD-AM-1093.- Contacto entre materiales estefanienses (ladera izq., en primer término) (H^{B}_{33}-H^{B}_{34}) y precámbricos en Cangas de Narcea.

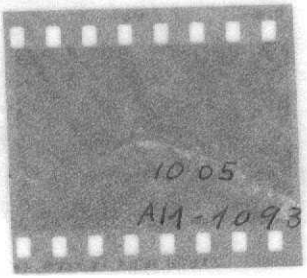

20050

10-05-AD-AM-1094.- Afloramiento de conglomerados estefanienses al N de Cangas de Narcea. Obsérvese el carácter heterométrico de los cantos.

20050

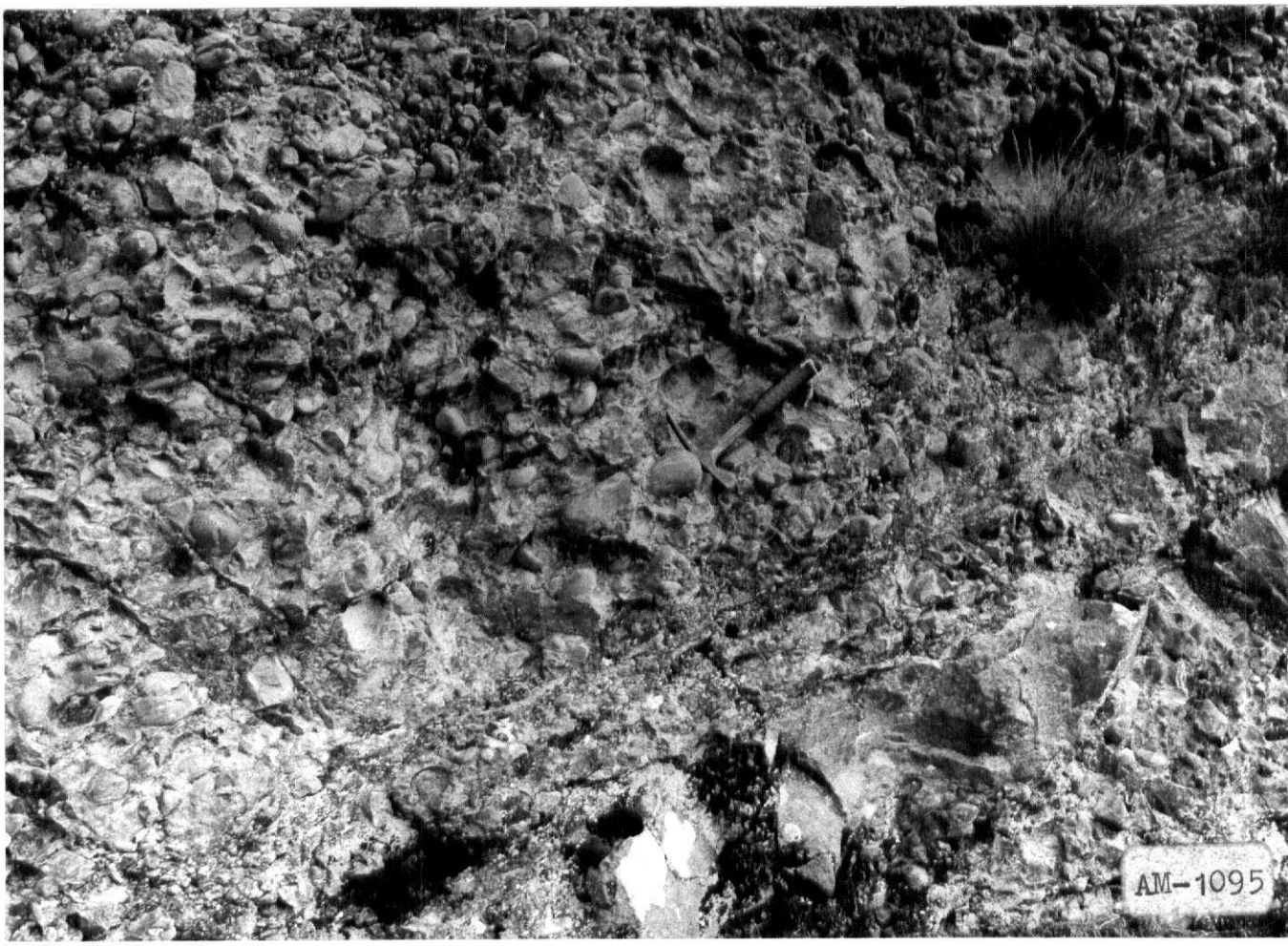

10-05-AD-AM-1095.- Otra vista de los conglomerados estefanienses (H^{B}_{33}-H^{B}_{34}) al N de Cangas de Narcea en cuya parte inferior se observa una gruesa capa de arenisca.

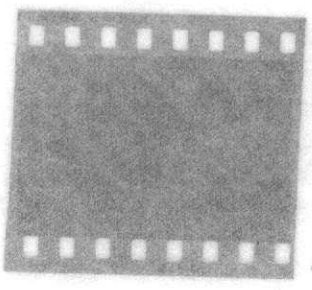

1005
AM-1095

10-05-AD-AM-1096.- Diferentes aspectos de los materiales estefanienses (H^{B}_{33}-H^{B}_{34}). Puede observarse la existencia de una parte inferior constituida por una alteración de pizarras y areniscas y una parte superior constituida por conglomerados. Obsérvese también el carácter erosivo del contacto entre ambos niveles en el que puede distinguirse la existencia de algunos paleocanales.

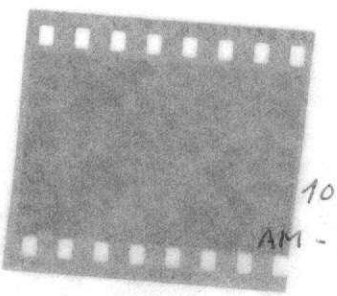

20050

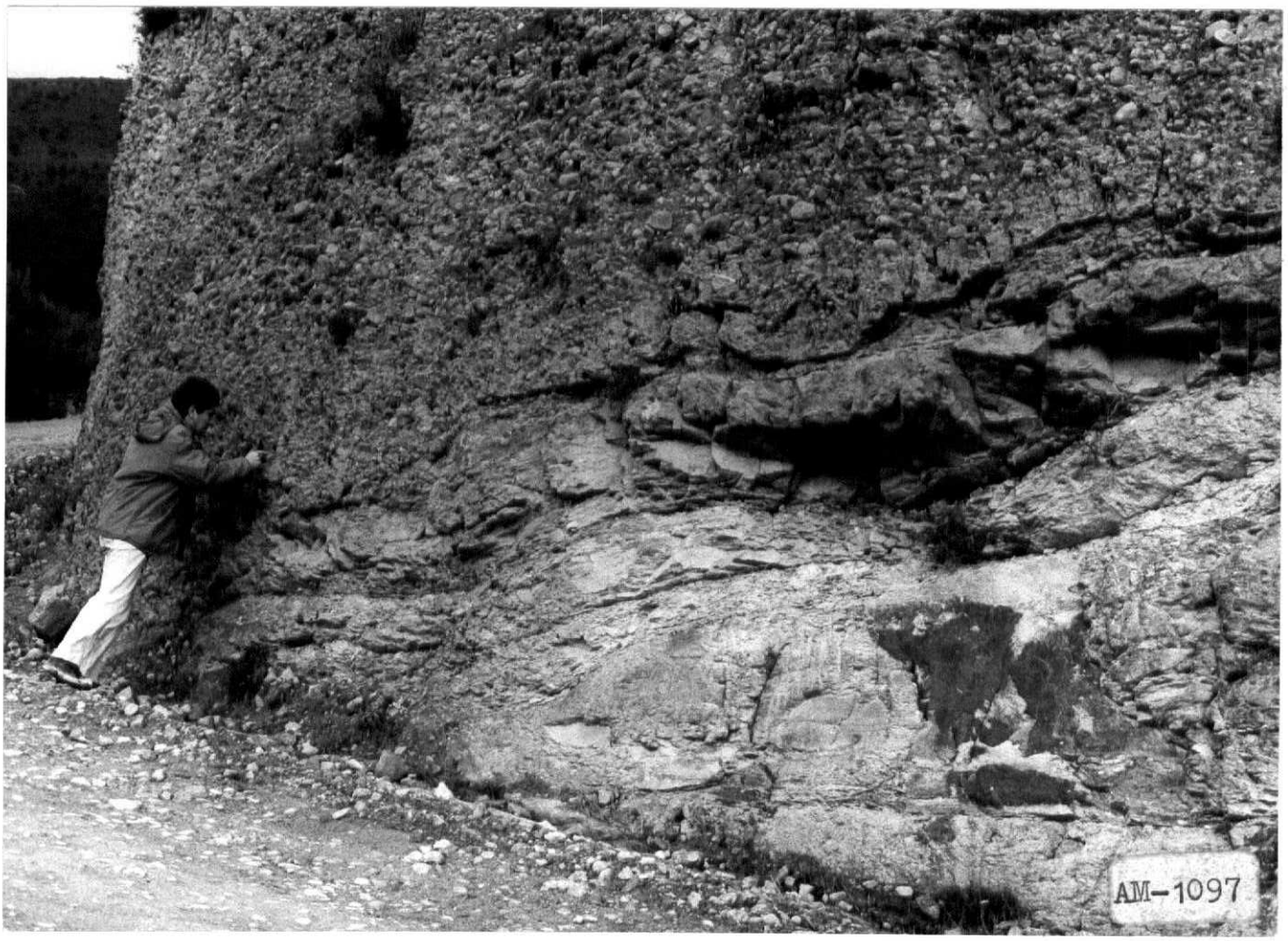

10-05-AD-AM-1097.- Un nuevo aspecto de la foto anterior 1096.

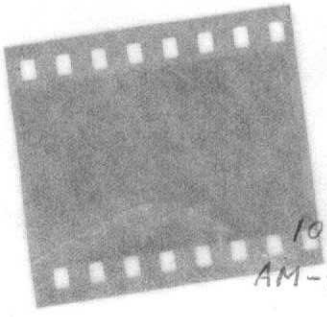

20050

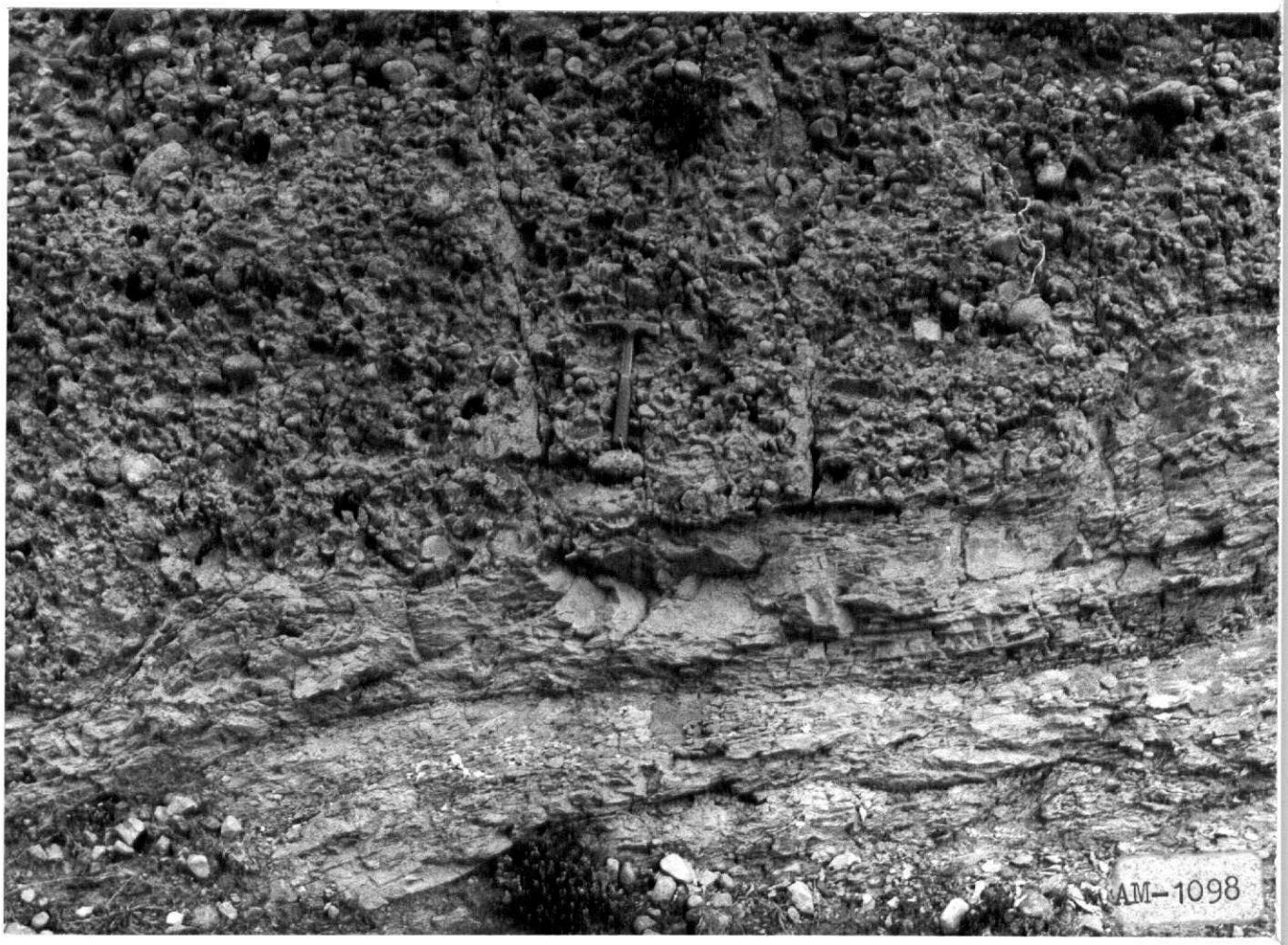

10-05-AD-AM-1098.- Otro aspecto de las fotos anteriores 1096 y 1097.

20050

10-05-AD-AM-1099.- Un aspecto más de las anteriores fotos 1096, 1097 y 1098.

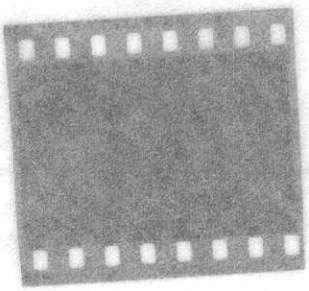

10-05-AD-AM-1100.- Pliegues de eje subvertical en las pizarras y filitas precámbricas (PC_2) situadas al W de Villas de Adrales, cerca de Cangas de Narcea.

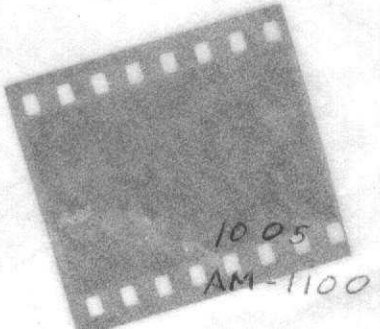

20050

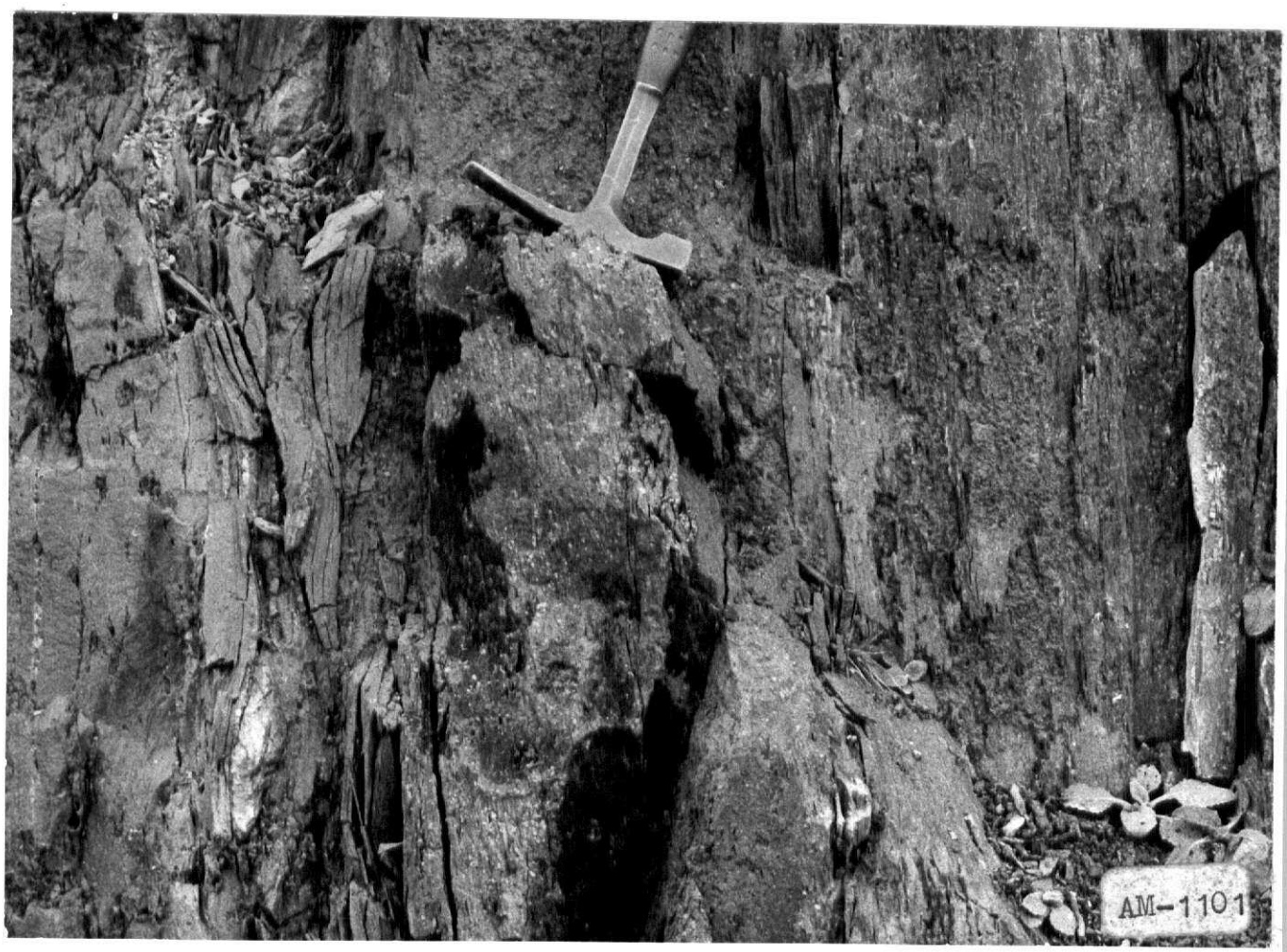

10-05-AD-AM-1101.- Nivel de porfiroides (ρ^1_E) intercalados entre las filitas y areniscas precámbricas (PC_2). W de Villas de Adrales, cerca de Cangas de Narcea.

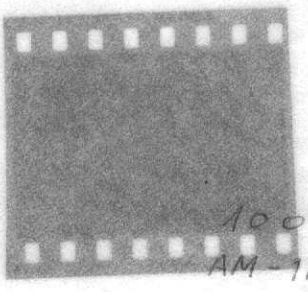

20050

10-05-AD-AM-1102.- Filitas precámbricas (PC_2) fuertemente afectadas por la esquistosidad de flujo correspondiente a la primera fase de la deformación herciniana. Al S de Trones, cerca de Cangas de Narcea.

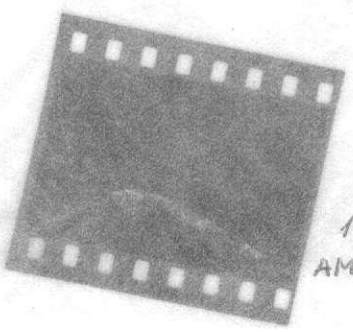

20050

10-05-AD-AM-1103.- Aspecto que presentan en afloramiento los niveles de porfiroides precámbricos (ρ_E^1) al S de Trones, cerca de Cangas de Narcea.

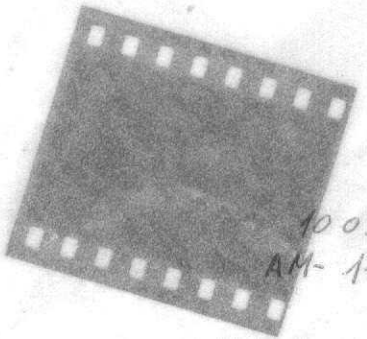

20050

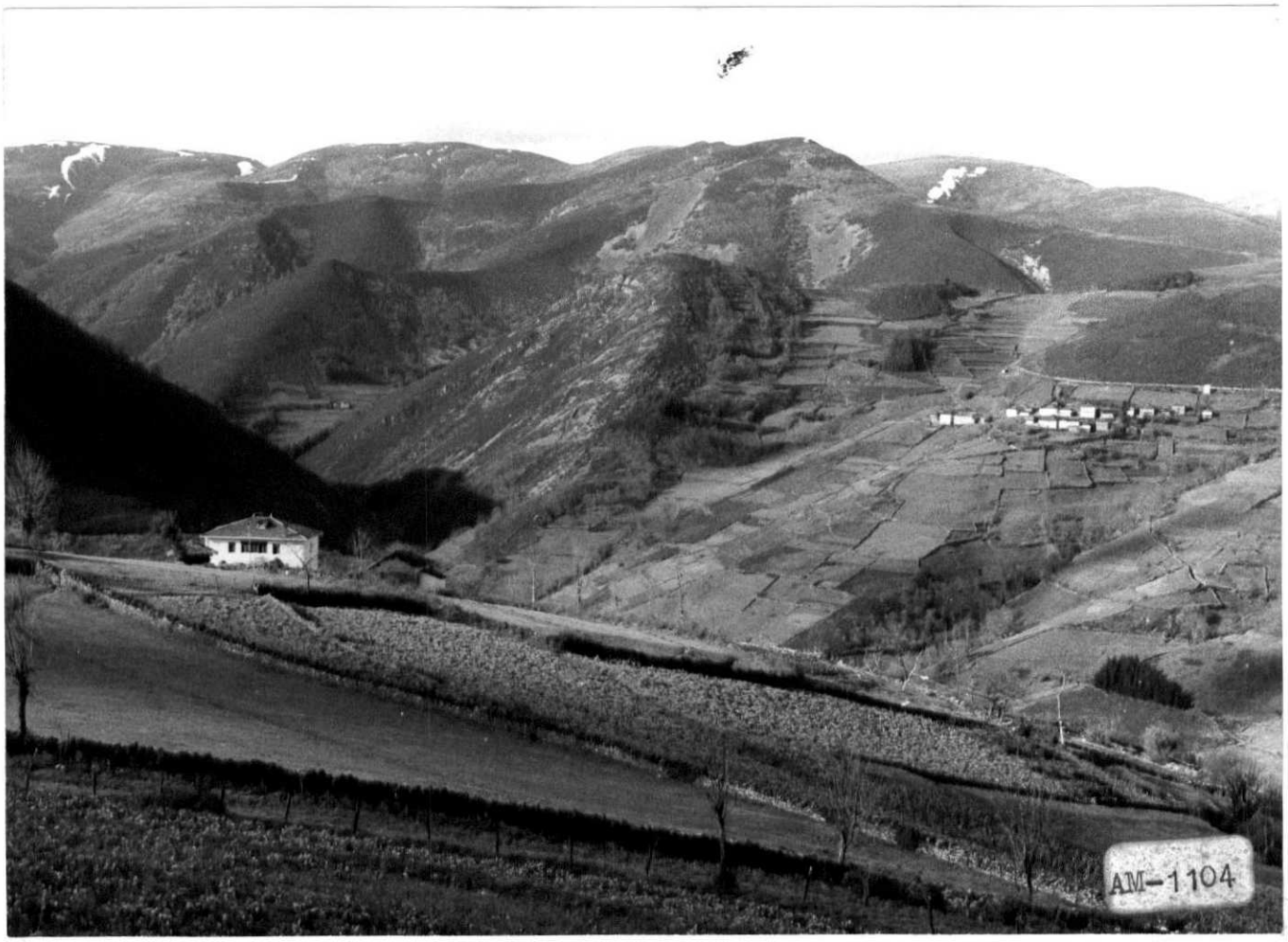

10-05-AD-AM-1104.- Vista panorámica, obtenida desde las inmediaciones de Posada de Besullo, en la que puede observarse la estructura del sector situado al N de Besullo. El pueblo que se encuentra al fondo de la fotografía es Forniallas. A su izquierda aparece un sinclinal, cuyos flancos constituidos por la Caliza de Vegadeo (CA_{1-2}) aparecen marcados en el relieve por sendas vaguadas. Más a la izquierda, aparece un anticlinal, adyacente del pliegue anterior cuyo núcleo está constituído por las Areniscas de la Herrería (CA_1). En los montes del fondo aflora la serie de los Cabos (CA_2-O_{1p}), cuya meteorización da lugar a la acumulación de abundantes derrubios de ladera (QL) en algunas zonas.

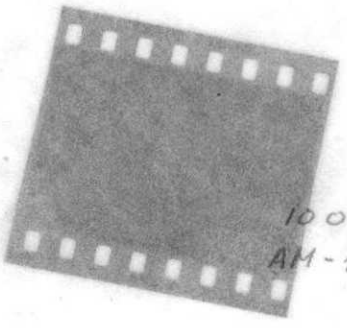

10-05-AD-AM-1105.- Vista panorámica obtenida desde cerca de Trones. En ella puede observarse al fondo y a la izquierda el relieve desarrollado en la Serie de los Cabos (CA_{2}-O_{1p}) en la Sierra del Palo. Más a la derecha se observa la superfície de arrasamiento correspondiente al antiforme del Narcea, en la que se conservan retazos de materiales Terciarios (T) que probablemente corresponden a una antigua raña asociada al citado relieve.

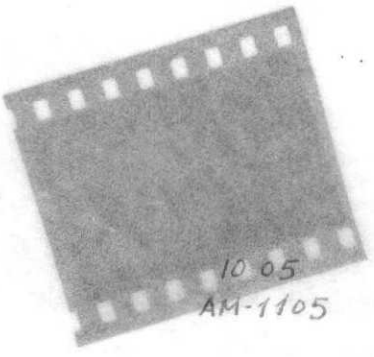

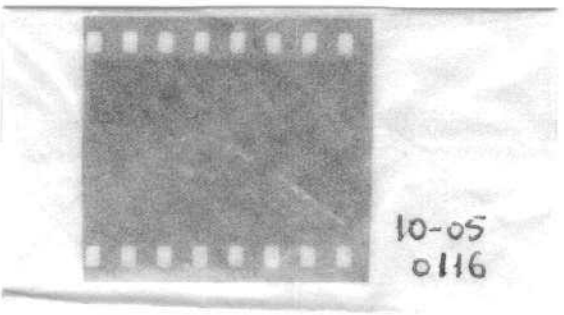

20050

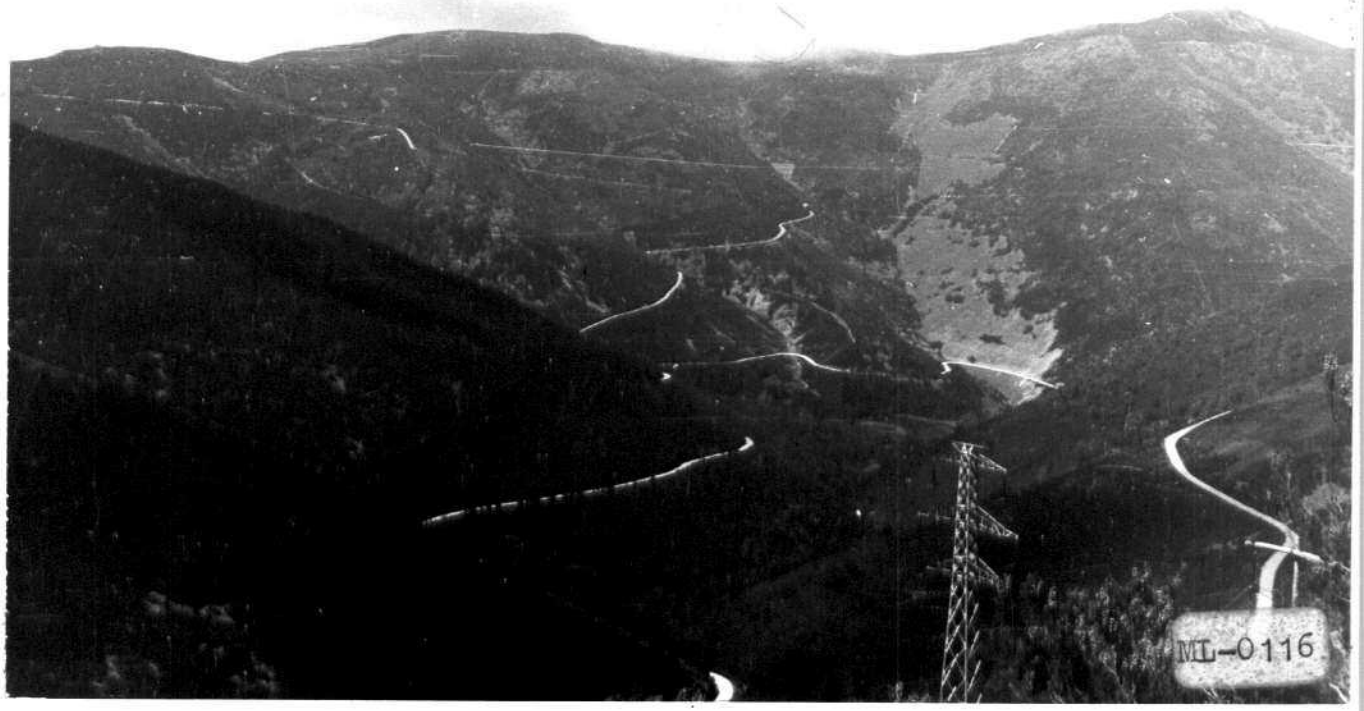

10-05-AD-ML-0116.- Vista panorámica desde el Puerto del Palo hacia el NE. Destaca el pronunciado relieve producido por los materiales cuarcíticos de la Serie de los Cabos (CA_2-O_1p) y el desarrollo de derrubios de ladera (QL).

20050

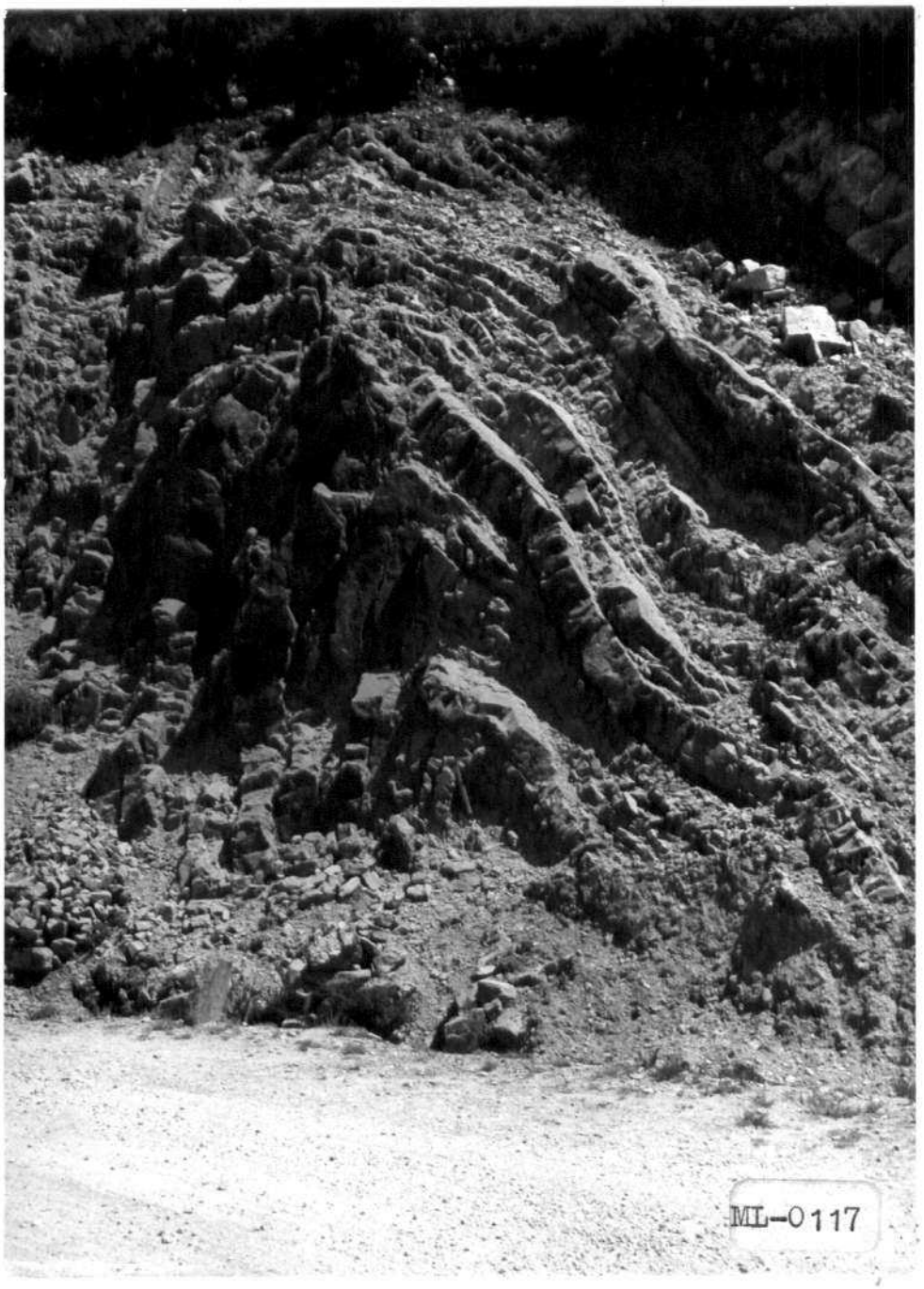

10-05-AD-ML-0117.- Pliegue isopaco en materiales cuarcíticos de la Serie de los Cabos (CA_2-O_1p). Inmediaciones del Puerto del - Palo.

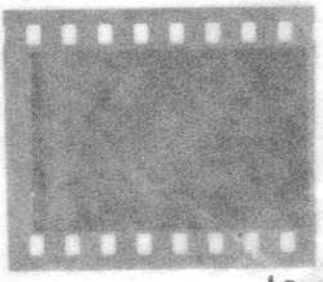

10-05
0117

20050

10-05-AD-ML-0118.- Esquistosidades superpuestas en niveles pizarrosos de la Serie de los Cabos (CA_2-O_1p). La esquistosidad de flujo es paralela al rotulador y la esquistosidad de crenulación posterior al portaminas. Misma localidad de la fotografía - ML-0117.

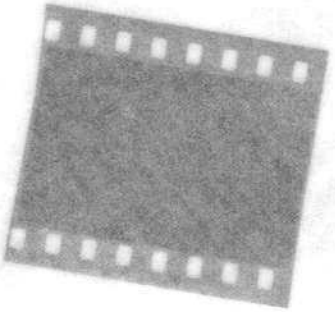

10-05
0118

20050

10-05-AD-ML-0119.- Aspecto de las cuarcitas blancas del Ordovícico medio (O_2q) cerca de Carondio.

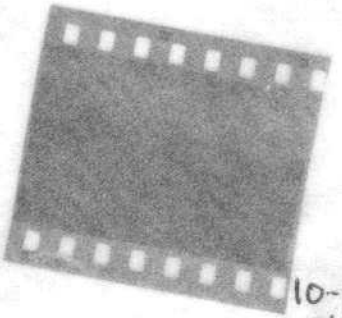

20050

10-05-AD-ML-0120.- Terminación perisinclinal de un pliegue formado por las cuarcitas blancas del Ordovícico medio (O_2q). Misma localidad de la fotografía ML-0119.

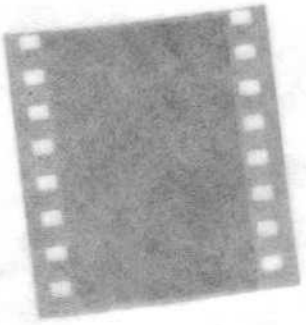

1005
0120

20050

10-05-AD-ML-0121.- Grandes porfiroblastos de quiastolita originados por metamorfismo de contacto en las Pizarras de Luarca - (O_2), cerca de San Esteban de los Buitres.

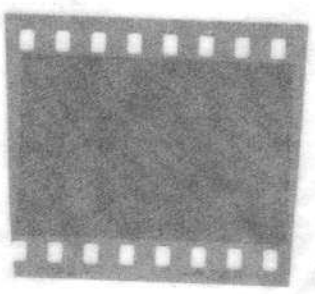

10-05
0121

20050

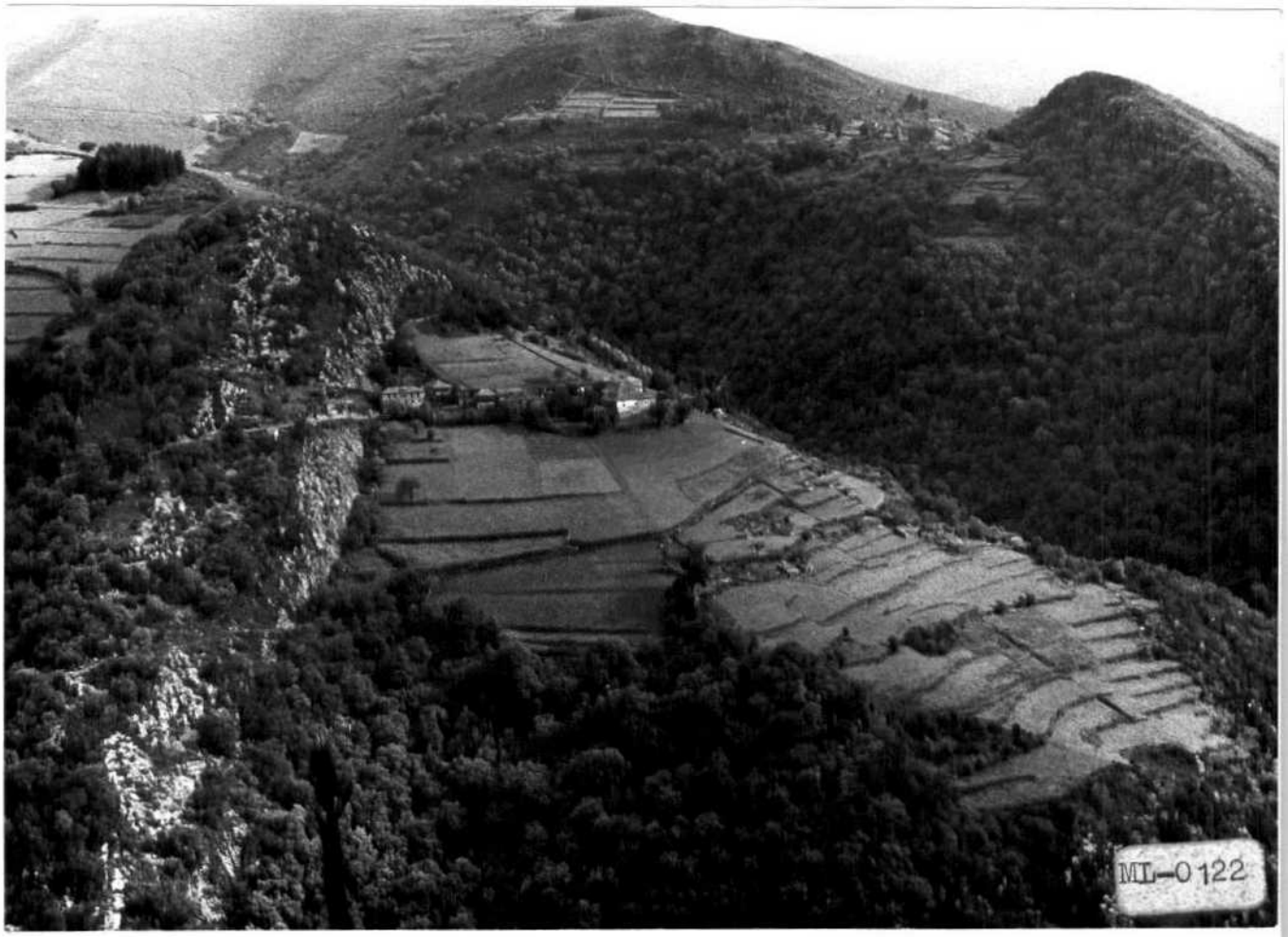

10-05-AD-ML-0122.- Crestones formados por las Pizarras de Luarca (O_2), cerca de Pernias.

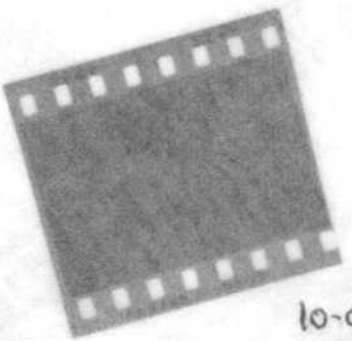

20050

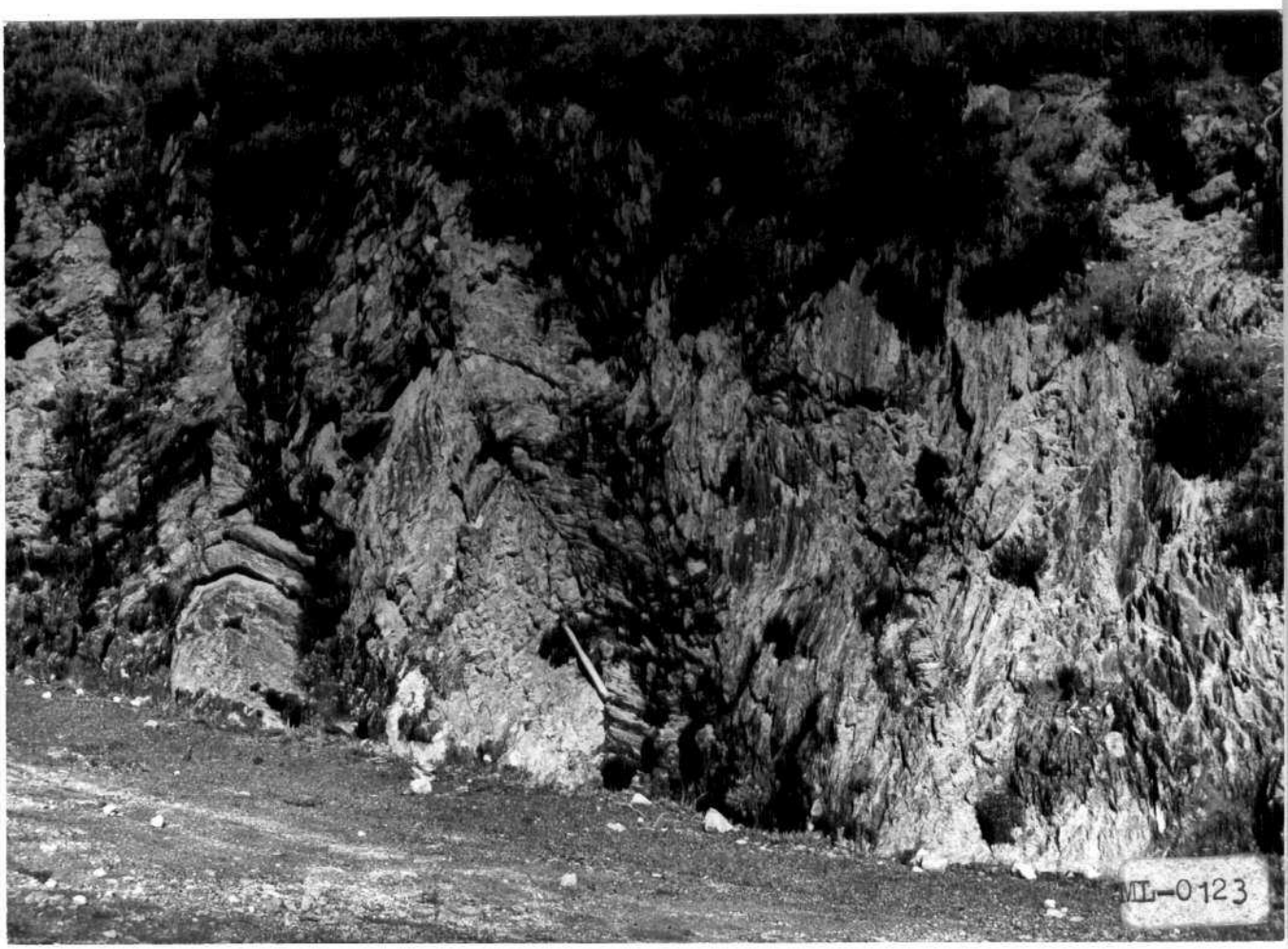

10-05-AD-ML-0123.- Pliegues menores correspondientes a la tercera fase de deformación en las Pizarras de Luarca (O_2), cerca de Lago (Allande).

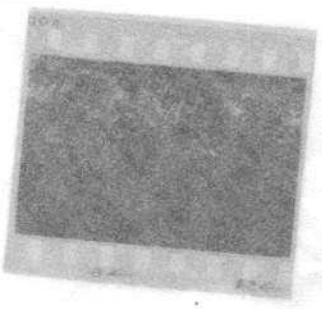

10-05
0123

20050

10-05-AD-ML-0124.- Detalle de los pliegues de la fotografía - ML-0123. Se observa que las superfícies de anisotropía plegadas corresponden a la esquistosidad de flujo.

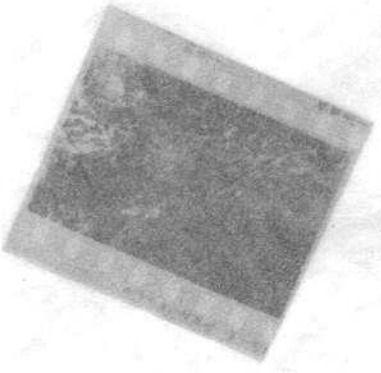

10-05
0124

20050

10-05-AD-ML-0125.- Detalle de los pliegues de la fotografía - ML-0123, mostrando kink-bands y chevron folds.

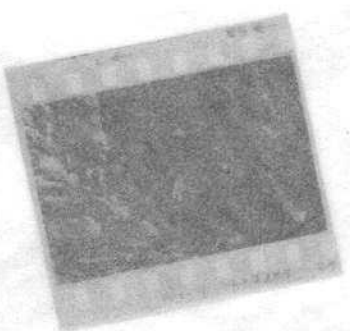

10-05
0125

20050

10-05-AD-ML-0126.- Diferentes aspectos de los kink-bands subhorizontales correspondientes a fases tardías de deformación, desarrollados en las Pizarras de Luarca (O_2). Peña del Buey, carretera de Villarpedre.

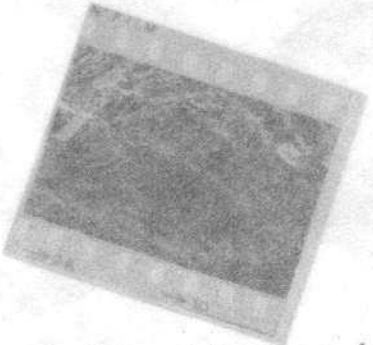

20050

10-05-AD-ML-0127.- Otro aspecto de la foto anterior ML-0126.

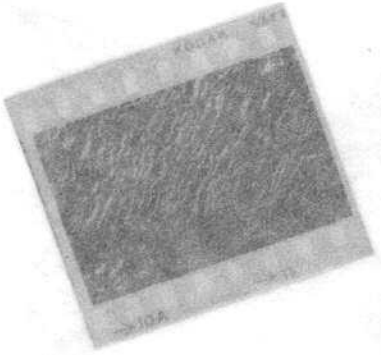

10-05
0127

20050

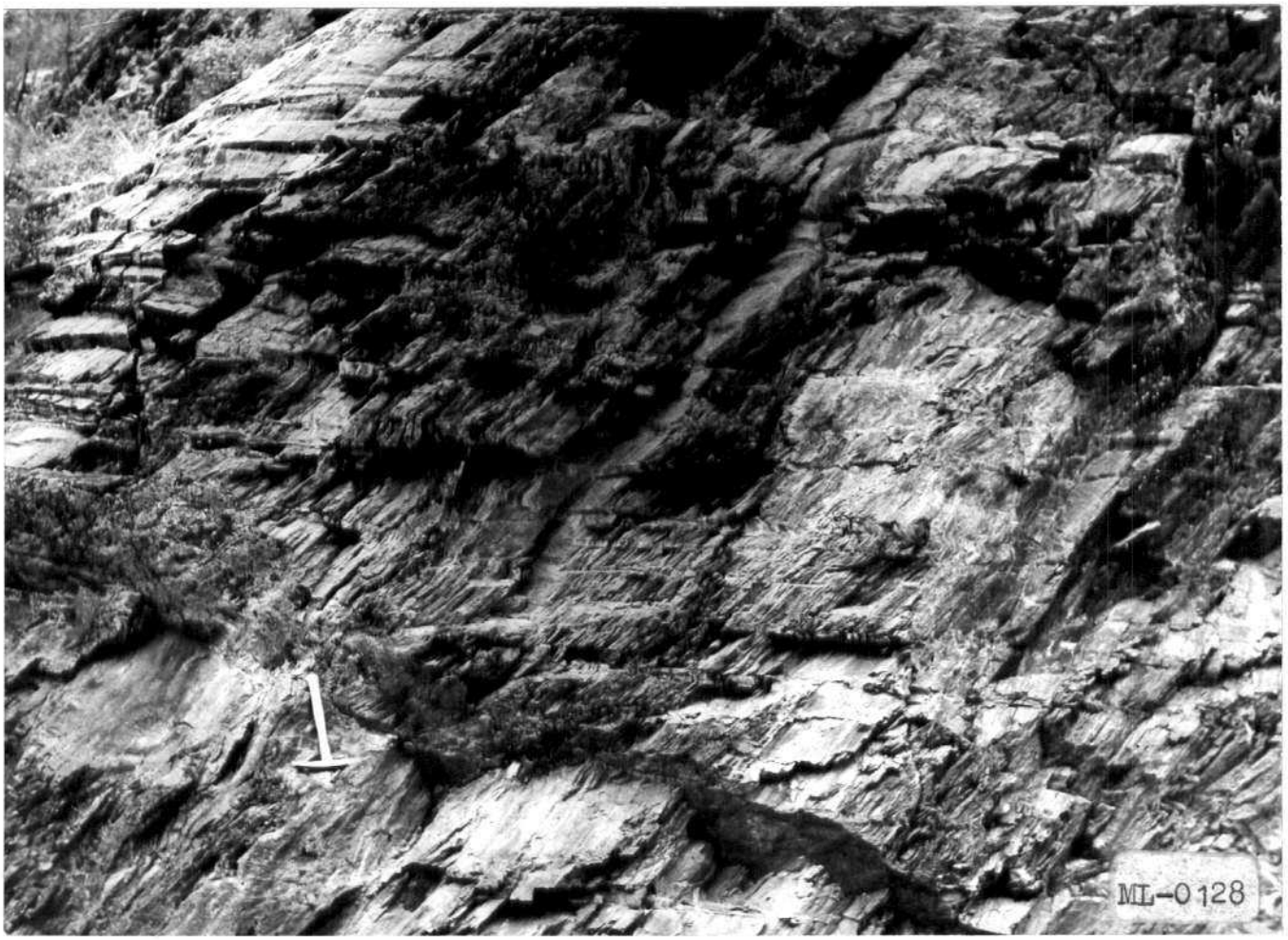

10-05-AD-ML-0128.- Un nuevo aspecto de las fotografías anteriores ML-0126 y ML-0127.

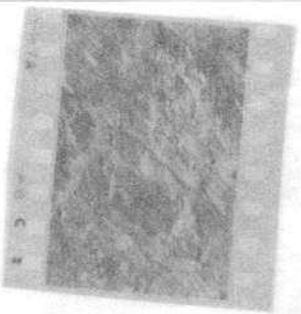

10-05
0128